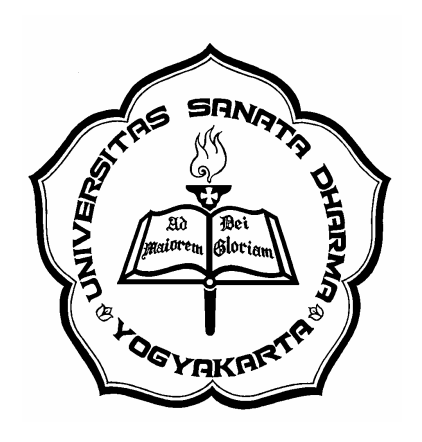
TUGAS AKHIR

Perancangan Prime Mover loader untuk tanah liat dengan kapasitas Bucket 5 m³

Diajukan untuk memenuhi salah satu syarat memperoleh gelar sarjana Teknik Mesin Program Studi Teknik Mesin



Diajukan oleh:

HARRY ANTONIUS NIM: 995214038

PROGRAM STUDI TEKNIK MESIN

JURUSAN TEKNIK MESIN

FAKULTAS SAINS DAN TEKNOLOGI

UNIVERSITAS SANATA DHARMA

YOGYAKARTA

2007

FINAL PROJECT

Loader Prime Mover designing for clay with 5 m3 capasity of Bucket

Presented as pantial ful fillment of the requirements

To obtain the *Sarjana Teknik* degree

In mechanical engineering department



By:

Name : Harry Antonius

Student Number : 995214038

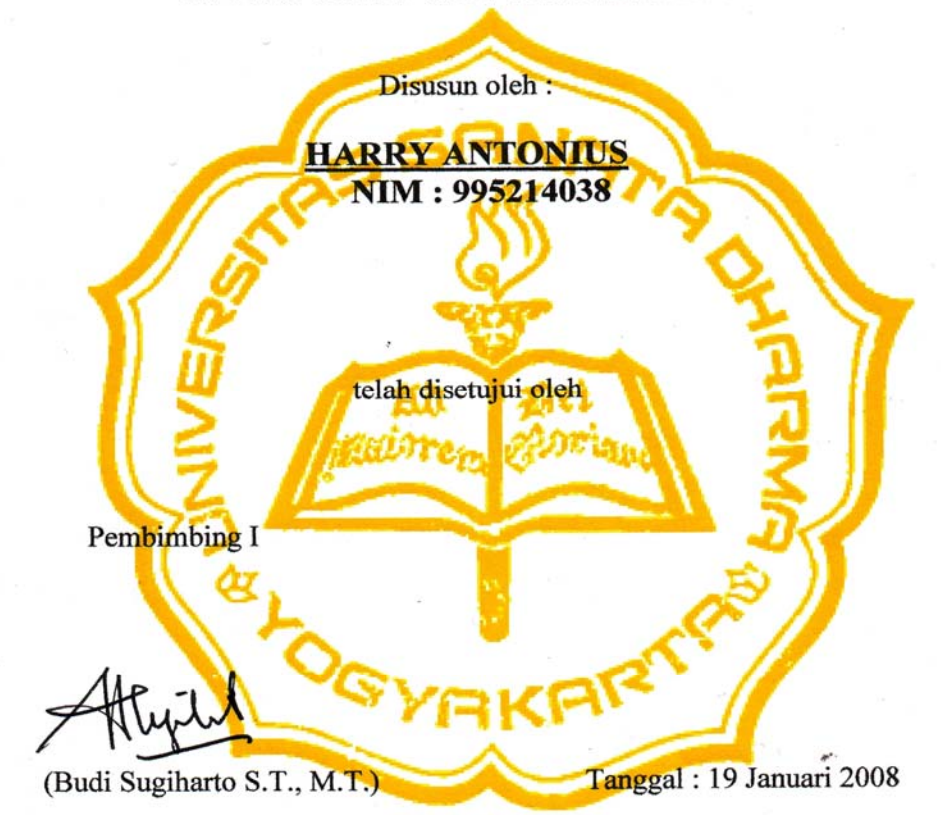
MECHANICAL ENGINEERING STUDY PROGRAM MECHANICAL ENGINEERING DEPARTMENT SAINS AND TECHNOLOGI FACULTY SANATA DHARMA UNIVERSITY YOGYAKARTA

2007

TUGAS AKHIR

Perancangan Prime Mover Loader untuk tanah liat dengan kapasitas Bucket 5 m³

No: 756 / TA / FT-USD / TM / Januari / 2007



TUGAS AKHIR

Perancangan Prime Mover loader untuk tanah liat dengan kapasitas Bucket 5 m³

Dipersiapkan dan ditulis oleh:

HARRY ANTONIUS NIM: 995214038

Telah dipertahankan didepan panitia penguji

Pada tanggal: 6 Oktober 2007

Dan dinyatakan memenuhi syarat.

Susunan Panitia Penguji

Ketua : Budi Setyahandana, S.T., M.T.

Sekertaris : Ir. Rines Alapan, M.T.

Anggota : Budi Sugiharto, S.T., M.T.

Yogyakarta, 19 Januari 2008

Program Studi Teknik Mesin

Jurusan Teknik Mesin

Fakultas Sains dan Teknologi

Universitas Sanata Dharma

Yogyakarta

Dekan

Ir. Greg Heliarko, S.J., S.S., B.S.T., M.A., M.Sc.

PERNYATAAN

Dengan ini saya menyatakan bahwa dalam Tugas Akhir ini tidak terdapat

karya yang pernah diajukan untuk memperoleh gelar kesarjanaan di suatu Perguruan

Tinggi dan sepanjang pengetahuan saya juga tidak terdapat karya atau pendapat yang

pernah ditulis atau diterbitkan oleh orang lain, kecuali yang secara tertulis diacu

dalam naskah ini dan disebutkan dalam daftar pustaka.

Yogyakarta, tanggal: 6 Oktober 2007

Penulis

Harry Antonius

 \mathbf{v}

Ć

Untuk menjadi
Kuat ,
Kokoh,
dan
Berhasil
tidak sekedar cuma berharap saja.



"Janganlah takut, sebab Aku menyertai engkau, janganlah bimbang, sebab Aku ini Allahmu; Aku akan meneguhkan, bahkan akan menolong engkau; Aku akan memegang engkau dengan tangan kanan-Ku yang membawa kemenangan"

(Yesaya 41:10).



"Firman-Mu itu pelita bagi kakiku dan terang bagi Jalanku "

(Mazmur 119: 105)



Kebahagiaan adalah saat merelakan hal yang baik untuk, mendapatkan hal yang terbaik nanti.

HALAMAN PERSEMBAHAN

Tugas Akhir ini kupersembahkan untuk:

- L.D. HASIBUAN dan MASRINAH Butar-Butar, bapak dan mamaku terkasih, Abang, Kakak, adik dan keponakanku semuanya.
- 2. Monang Pardamean Butar-Butar, inilah hasil pilihanku.
- 3. Bersama Mapasadha, mencari dan menemukan arti hidup yang sebenarnya.
- 4. Terkasih dihatiku, Septi Wulandari yang terus mendukung hingga kini dalam segala hal.
- 5. Sayangku, Endang Prasetyaningsih untuk doa, semangat dan jalanmu adalah Cinta diantara kita.

KATA PENGANTAR

Puji syukur kepada "Jesus Chris", sehingga penyusunan Tugas Akhir ini yang berjudul "Perancangan Prime Mover loader untuk tanah liat dengan kapasitas Bucket 5 m³ "dapat terselesaikan dengan baik.

Proses penyusunan Tugas Akhir ini, tidak terlepas dari rangkulan dan dukungan dari berbagai pihak. Pada kesempatan ini dari lubuk hatiku yang terdalam, penulis ingin mengucapkan terimakasih yang tulus, kepada :

- 1. Bapak **Ir. Greg. Heliarko, SJ., Ss., B.ST., MA., M.Sc.** selaku Dekan Fakultas Sains dan Teknologi Universitas Sanata Dharma.
- 2. Bapak **Budi Sugiharto, S.T.,M.T.** selaku Ketua Program Studi Teknik Mesin, Fakultas Sains dan Teknologi Universitas Sanata Dharma. yang merangkap selaku Dosen Pembimbing Tugas Akhir dan Dosen Pembimbing Akademik yang dengan begitu sabar dan penuh perhatian memberi bimbingan dan arahan sehingga terselesaikannya tugas akhir ini.
- 3. Bapak **Yosef Agung Cahyanta, S.T., M.T.** dengan saya mencoba merefleksikan semangatnya dikelas.
- 4. Segenap dosen jurusan Teknik Mesin Universitas Sanata Dharma.
- Segenap staf sekretariat dan karyawan Fakultas Teknik Universitas Sanata Dharma.
- 6. Segenap rekan-rekan seperjuangan se-jurusan di Teknik Mesin Universitas Sanata Dharma.
- 7. Semua pihak yang telah banyak membantu dalam terselesaikannya Tugas Akhir ini.

Penulis menyadari sepenuhnya bahwa penyusunan tugas akhir "Perancangan Prime Mover Loader untuk tanah liat dengan kapasitas Bucket 5 m³ "yang jauh dari sempurna ini mengharapkan segala bentuk masukan, saran dan kritik dari pembaca. Akhir kata, semoga Tugas Akhir ini bermanfaat bagi pembaca dan berbagai pihak yang memerlukannya.

Yogyakarta, 19 Januari 2008

Harry Antonius

INTISARI

Loader adalah salah satu jenis dari berbagai macam peralatan berat yang digunakan untuk membantu manusia menyelesaikan pekerjaan-pekerjaan seperti membersihkan lahan, menggusur bongkaran, menggusur tonggak kayu kecil, menggali pondasi basement, sampai pekerjaan memindahkan material ke atas truck yang biasanya dalam skala luas dan besar sehingga pekerjaan-pekerjaan tersebut membutuhkan efektivitas dari segi waktu dengan tetap memperhatikan produksi yang besar.

Dengan mengetahui jumlah produksi, medan kerja, efisiensi kerja, waktu yang dibutuhkan untuk menyelesaikan pekerjaan, material yang dikerjakan, berat volume dan jenis tanahnya sehingga perlu alat yang sesuai dalam pemilihan alat berat beserta perlengkapannya. Pada perancangan tugas akhir ini direncanakan Loader, dengan kapasitas bucket sebesar 5 m³ dan memakai roda ban. Batasan masalah perancangan Loader beroda ban yang dibutuhkan, yaitu pada pemilihan engine sebesar 612 HP, Putaran pada daya maximum 2000 rpm, bevel gear dan Power shift transmission yang menggunakan coupling fluida.

Hasil perancangan *planetary gear* dengan tingkat kecepatan baik maju maupun mundur yaitu kecepatan maju tingkat 1 = 0 - 37.4 km/jam = 2,244 m/s, kecepatan maju tingkat 2 = 0 - 41.1 km/jam = 2,466 m/s, kecepatan maju tingkat 3 = 0 - 49.3 km/jam = 2,96 m/s, kecepatan mundur tingkat 1 = 0 - 41.1 km/jam = 2,466 m/s, kecepatan mundur tingkat 2 = 0 - 49.3 km.jam = 2,96 m/s, kecepatan mundur tingkat 3 = 0 - 58 km/jam = 3,48 m/s.

DAFTAR ISI

HALAMAN SAMPUL	
HALAMAN JUDUL	i
FINAL PROJECT	ii
HALAMAN PENGESAHAN SOAL	iii
HALAMAN PENGESAHAN UJIAN	iv
HALAMAN PERNYATAAN	v
MOTTO	vi
HALAMAN PERSEMBAHAN	vii
KATA PENGANTAR	viii
INTISARI	ix
DAFTAR ISI	X
DAFTAR GAMBAR	xiii
DAFTAR TABEL	xiv
BAB I . PENDAHULUAN	1
1. 1. Latar belakang masalah	1
1. 2. Pengenalan dasar peralatan berat	1
1. 3. Dasar pemilihan alat berat	4
1. 4. Tujuan	4
1. 5. Batasan masalah	4
BAB II. LOADER	5
2. 1. Klasifikasi alat berat	5
2. 2. Cara kerja Loader	5

2.3. Analisa beban dan hambatan	7
2.3.1. Berat Loader	8
2.3.2. Rolling Ressistance (W _{RR})	8
2.3.3. Hambatan Kelandaian (Grade)	8
2.3.4. Traksi Kritis.	9
2.4. Pemilihan engine.	9
2.5. Daya untuk mengatasi beban dan hambatan	10
2.6. Daya untuk perlengkapan hidrolis	10
2.7. Koreksi diameter poros dan torsi <i>engine</i>	11
BAB III. PERANCANGAN DAMPER	13
3.1. Perancangan Kopling Karet Ban (<i>Damper</i>)	13
3.2. Perancangan poros.	15
3.3. Putaran kritis poros	19
3.4. Perhitungan baut pengikat kopling karet	21
BAB IV. TRANSMISION	23
4.1. Jenis-jenis Transmisi Alat berat	23
4.2. Prinsip kerja roda gigi planet	23
4.3. Jenis Planetary gear system	25
4.4. Perancangan transmisi	26
4.5. Penentuan angka transmisi	27
4.6. Perancangan kecepatan maju dan mundur	29
4.6.1. Perancangan Gear I saat kecepatan maju (engage)	29
4.6.2. Perancangan Gear I saat kecepatan mundur (disengage)	31
4.6.3. Perancangan Gear II saat kecepatan maju (disengage)	32
4.6.4 Perancangan Gear II saat kecepatan mundur (engage)	34

4.7. Perancangan kecepatan tiap tingkat	34
4.7.1. Perhitungan kecepatan maju tingkat I	35
4.7.2. Perhitungan kecepatan maju tingkat II	38
4.7.3. Perhitungan kecepatan maju tingkat III	39
4.7.4. Perhitungan kecepatan mundur tingkat I	40
4.7.5. Perhitungan kecepatan mundur tingkat II	41
4.7.6. Perhitungan kecepatan mundur tingkat III	42
BAB V. Kesimpulan dan Saran	44
5.1. Kesimpulan.	44
5.2. Saran	46
DAFTAR PUSTAKA	
LAMPIRAN	
LAMPIRAN REVISI UJIAN TUGAS AKHIR	
LAMPIRAN GAMBAR SIZE A0	

DAFTAR GAMBAR

- Gambar 1.1. Bagan Alir dari Mesin Tracktor Wheel Loader.
- Gambar 1.2. Skematic rancangan komponen prime mover loader.
- Gambar 2.3. Loader beroda ban (wheel loader).
- Gambar 2.4. Loader beroda rantai/kelabang (track loader).
- Gambar 3.5. Mesin Diesel untuk prime mover Loader.
- Gambar 4.1. Bentuk kopling karet ban.
- Gambar 4.2. Daerah kesalahan yang diizinkan pada kopling karet ban.
- Gambar 4.3. Gaya vertical yang dialami poros kopling karet ban.
- Gambar 4.4. Momen yang terjadi akibat berat pada poros kopling karet ban.
- Gambar 5.1. Planetary Gear set.
- Gambar 5.2. Planetary gear system single pinion type.
- Gambar 5.3. Planetary gear system double pinion type (1 dan 2) dan arah gerak
- Gambar 5.4. Rancangan transmissi planet.
- Gambar 5.5. Tingkat kecepatan maju (a) dan Grafis gerakan Gear I (b).
- Gambar 5.6. Tingkat kecepatan mundur.
- Gambar 5.7. Grafis gerakan gear II saat kecepatan maju.
- Gambar 5.8. Perencanaan Planetary gear system double *pinion type*.
- Gambar 5.9. Grafis gerakan gear II saat kecepatan mundur.
- Gambar 5.10. Kecepatan maju tingkat I.
- Gambar 5.11. Tingkat kecepatan maju
- Gambar 5.12. Kecepatan maju tingkat II.
- Gambar 5.13. Kecepatan maju tingkat III.
- Gambar 5.14. Kecepatan mundur tingkat I.
- Gambar 5.15. Kecepatan mundur tingkat II.
- Gambar 5.16. Kecepatan mundur tingkat III.

DAFTAR TABEL

Lampiran 1

- Tabel 1.1. Koefisin traksi
- Tabel 1.2. Tabel Faktor Rolling Ressistance

Lampiran 2

- Tabel 1.3. Tabel Tarik atau DBP.
- Tabel 1.4. Tabel Efisiensi kerja siang/malam

Lampiran 3

- Tabel 2.1. Tabel Load faktor, prosentase sweel dan massa jenis material.
- Tabel 2.2. Tabel Kemampuan wheel loader menurut Komatsu.

Lampiran 4

- Table 2.3 Tabel Waktu untuk menggali (detik).
- Tabel 2.4. Tabel Waktu untuk Swing (detik).
- Tabel 2.5. Tabel Waktu tetap untuk Whell Loader Komatsu (menit).

LAMPIRAN 5

- Tabel 2.6. Tabel Factor Pengisian Bucket Komatsu.
- Tabel 2.7. Tabel Faktor koreksi keadaan medan dan keadaan manajemen.
- Tabel 2.8. Tabel Bucket factor (K).
- Tabel 2.9. Tabel Job efficiency (E).

LAMPIRAN 6

- Tabel 3.1. Tabel kelandaian dalam % dari tiap derajatnya:
- Tabel 3.2. Tabel Diameter poros.

LAMPIRAN 7

Tabel Dimensi dan kapasitas Kopling Karet Ban.

LAMPIRAN 8

Tabel Harga copel (c) menurut *Flender*.

LAMPIRAN 9

Tabel. Faktor koreksi (f_c) .

LAMPIRAN 10

Tabel bahan koefisien gesek kopling menurut Flender.

LAMPIRAN 11

Tabel Momen Inersia Kopling Karet Ban.

Tabel Baja paduan untuk poros.

LAMPIRAN 12

Tabel Standart baja.

LAMPIRAN 13

Tabel massa jenis sifat fisis baja.

Tabel Harga faktor keamanan

LAMPIRAN 14

Tabel ukuran baut standart JIS

LAMPIRAN 15

Tabel Bahan untuk flens dan baut kopling.

Tabel Bilangan kekuatan baut/sekrup dan mur mesin.

LAMPIRAN 16

Tabel bahan untuk poros DIN 42946

Grafik tegangan tarik Vs tegangan lelah maximal pada poros.

BABI

PENDAHULUAN

1. 1. LATAR BELAKANG MASALAH

Pekerjaan-pekerjaan seperti membuka lahan, meratakan lahan, membersihkan lahan, memindahkan dan berbagai macam pekerjaan yang berhubungan dengan tanah, pasir, kerikil, dan batu biasanya membutuhkan alat bantu seperti peralatan berat yang memang diciptakan untuk membantu pekerjaan manusia agar lebih efektif dan mudah dalam pengerjaannya. Namun dalam penggunaannya sendiri peralatan berat lebih diperhatikan menitik beratkan pekerjaan yang membutuhkan waktu cepat dan produksi kerja yang banyak, sehingga penggunaan peralatan berat tidak percuma adanya.

Dari segala referensi dan pemantauan lapangan, dapat diketahui jenis peralatan berat apa saja yang dibutuhkan dan memang berguna untuk pekerjaan-pekerjaan yang sesuai dengan fungsi dari masing-masing alat berat tertentu. Seperti dalam pekerjaan-pekerjaan awal konstruksi yang umum ditemukan dilapangan adalah clearing ringan, menggusur bongkaran, menggusur tonggak kayu kecil, menggali pondasi basement, memindahkan hasil bongkaran ke mobil pengangkut, dan lain-lainnya.

1. 2. PENGENALAN DASAR ALAT BERAT

Factor-faktor yang menentukan dalam penggunaan alat berat adalah:

- 1. Tenaga yang dibutuhkan (*Power Required*),
- 2. Tenaga yang tersedia (Power Available),
- 3. Tenaga yang dapat dimanfaatkan (*Power Usable*).

Hubungan antara tenaga yang dibutuhkan, tenaga tersedia dan tenaga yang dapat dimanfaatkan adalah sangat penting diketahui, karena perancang dapat menentukan berapa kapasitas alat yang harus di pilih untuk sesuatu pekerjaan yang dilaksanakan.

Beberapa hal yang mempengaruhi besarnya tenaga yang dapat dimanfaatkan dari alatalat berat, di uraikan dibawah ini :

- 1. Pengaruh ketinggian
 - Lokasi / tempat bekerjanya alat terhadap permukaaan air laut.
- 2. Temperatur

Tenaga mesin berkurang sebesar 1 % untuk tiap suhu udara naik 10° F diatas temperature standar 85° F, atau tenaga mesin bertambah 1 % bila suhu udara tiap 10° F dibawah temperature standar 85° F.

3. Koefisien Traksi

Tenaga mesin hanya dapat dijadikan tenaga traksi yang maksimal apabila ada gesekan yang cukup antara permukaan ban / roda dengan permukaan tanah tempat alat tersebut bekerja. Apabila gesekan antara tanah dengan roda / ban berkurang, maka tenaga berlebih yang dilimpahkan kepada roda hanya akan menyebabkan selip.

Koefisien traksi adalah besarnya tenaga tarik yang menyebabkan selip dibagi dengan berat kendaraan keseluruhan atau besarnya tenaga tarik yang menyebabkan selip dibagi dengan berat kendaraan yang terlimpah pada roda geraknya. Tipe dan keadaan landasan diberikan pada Tabel 1.1. Koefisien Traksi pada lampiran 1 (Rochmanhadi, alat-alat berat dan penggunaannya, 1982, hal 8).

4. Tahanan Gelinding (*Rolling Resistance*)

Rolling Resistance adalah tahanan pada gerakan roda kendaraan diatas permukaan tanah. Besarnya tahanan ini tergantung pada permukaan tanah tempat bekerja alat/kendaraan (keras, licin, atau lembek dll). Tanah yang lembek akan memberikan tahanan gelinding yang kecil atau kira-kira hanya 2% dari berat kendaraan saja. untuk berbagai macam kendaraan dan jenis permukaan tanah disajikan pada Tabel 1.2. lampiran 1.

5. Pengaruh landai permukaan (grade).

Kemampuan mendaki tanjakan ini adalah landai maksimal yang dapat ditempuh oleh sebuah traktor atau kendaraan yang dinyatakan dalam % landai. Kemampuan ini berbeda pada masing-masing keadaan kendaraan yang kosong atau isi muatan atau kecepatan pada gigi yang dipilih dan sebagainya.

Gerakan maju traktor sebagai alat penarik (prime mover) dibatasi oleh :

- a) Daya tarik (DBP atau rimpull) yang disediakan oleh mesin.
- b) Rolling ressistance pada permukaan jalan.
- c) Berat total kendaraan dengan muatan, dan
- d) Landai permukaan jalan yang dilalui.

Pengaruh landai (*grade*) ini adalah sebesar 10 kg atau 20 lbs per ton berat kendaraan setiap % grade. Dalam perhitungan kebutuhan tenaga traksi kita bedakan antara tanjakan dan turunan sebagai berikut,

- a) *Grade Resistance* adalah tanjakan yang mengakibatkan bertambahnya (+) tenaga traksi yang diperlukan.
- b) *Grade Assistance* adalah turunan yang mengakibatkan berkurangnya (-) tenaga traksi yang diperlukan.

Jadi total resistance = TR adalah :

$$TR = RR + GR$$
 atau $TR = RR - GA$ (1.1.)

6. Tenaga Roda (Rimpull)

Tenaga roda adalah tenaga gerak yang dapat disediakan mesin kepada roda-roda gerak suatu kendaraan yang dinyatakan dalam kilogram atau lbs. Tenaga roda ini dapat dihitung dengan rumus :

$$Rimpull = \frac{375 \times HP \times Efisiensi}{Kecepa \tan{(mph)}}$$
 (lbs)(1.2.)

Efisiensi nilainya berkisar antara 80 – 85%.

7. Tenaga Tarik (Drawbar Pull = DBP)

Adalah tenaga yang terdapat pada gantol (*hook*) dibelakang traktor tersebut, yang dinyatakan dalam kg atau lbs. Tenaga Tarik atau DBP disajikan di Tabel 1.3. lampiran 2.

8. Pengaruh lain.

Disamping beberapa factor yang telah disebutkan diatas, beberapa hal perlu juga dipertimbangkan dalam menghitung produksi alat dan pemilihan alat yang akan digunakan, antara lain sebagai berikut:

- a. Waktu yang dibutuhkan untuk menyelesaikan pekerjaan.
- b. Material yang dikerjakan, berat volume, jenis tanah kohesif, lekatannya besar sehingga perlu alat yang sesuai, demikian juga untuk tanah kepasiran (lepas). Factor besar kecilnya kembang susut tanah perlu juga untuk diketahui untuk menghitung efisiensi penggunaan alat.
- c. Efisiensi kerja, di sini dipertimbangkan efisiensi kerja untuk siang atau malam akan berbeda.
- d. Kemampuan operator, jika operator mampu dan berpengalaman, akan diperoleh hasil yang optimal.
- e. Keadaan medan yang baik akan mempengaruhi produksi kerja, sebaliknya jika medan jelek, berdebu, berkabut dan tidak rata/datar akan mengurangi produksi kerja.

1. 3. DASAR PEMILIHAN ALAT BERAT

Untuk pemilihan peralatan berat yang akan digunakan di suatu pekerjaan, beberapa urutan hitungan / prakiraan yang perlu dibuat adalah sebagai berikut :

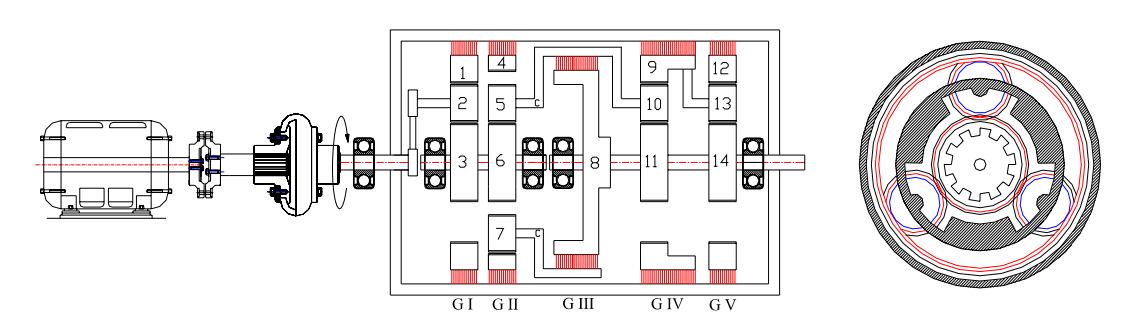
- a. Hitung terlebih dahulu produksi yang diperlukan.
- b. Hitung prakiraan cycle time-nya.
- c. Tentukan besarnya beban angkat persiklus dalam volume (m³) atau juga dalam berat (kg).
- d. Memilih ukuran bucket.
- e. memilih ukuran alat dengan ukuran bucket dan beban angkat yang sesuai dengan produksi yang harus dihasilkan.

1. 4. TUJUAN

Perancangan ini disusun untuk mendapatkan perancangan *prime mover* dari *Wheel Loader* untuk tanah liat dengan kapasitas bucket 5 m³, sehingga didapatkan engine yang ideal untuk pergerakan *Wheel Loader*. Dalam perancangan *Wheel Loader* ini digunakan untuk pekerjaan tanah liat basah, dengan kondisi medan diasumsikan keadaan permukaan tanah tak terpelihara dan masih alami. Bagan alir perancangan *Prime mover Wheel Loader* disajikan pada Gambar 1.1. dan 1.2., berikut ini.



Gambar 1.1. Bagan Alir dari Mesin Tracktor Wheel Loader.



Gambar 1.2. Skematic rancangan komponen prime mover loader.

1. 5. BATASAN MASALAH

Untuk lebih mempermudah penulis dalam penyusunan tugas akhir perancangan Prime Mover *Wheel Loader* untuk tanah liat dengan kapasitas bucket 5 m³ ini, dibatasi sampai dengan Perancangan *transmisi planet gear set* saja.

BAB II

LOADER

2.1. Klasifikasi alat berat.

Menurut penggerak utamanya peralatan berat, dibedakan sebagai berikut:

- a. Traktor sebagai penggerak utama:
 - Traktor, Buldozer, Loader, Ripper, Scrapper, Motor Grader, dll.
- b. Excavator sebagai penggerak utama:
 - Backhoe, Shovel, Clamshell, Skider, dll.

Sedangkan dari fungsinya peralatan berat dibedakan:

- a. Alat pembersih lapangan
- b. Alat pengangkat dan pemuat
- c. Alat penggali dan pengangkut
- d. Alat pembentuk permukaan
- e. Alat pemadat, dll.

2.2. Cara kerja Loader.

Loader adalah alat pemuat material hasil galian/gusuran alat lain yang tidak dapat langsung dimuatkan ke alat angkut, misalnya bulldozer, grader, dan lain-lainnya. Pada prinsipnya Loader adalah alat pembantu untuk memuatkan dari *stockpile* ke kendaraan angkut atau alat-alat lain, disamping dapat juga berfungsi untuk pekerjaan awal yang umum.

Cara kerja Loader sendiri adalah, bekerja dengan gerakan-gerakan dasar bucket dan cara membawa muatan untuk dimuatkan ke alat angkut atau alat yang lain. Gerakan bucket yang penting ialah menurunkan bucket di atas permukaan tanah, mendorong ke depan (memuat/menggusur), mengangkat bucket, membawa dan membuang muatan.

Loader merupakan salah satu jenis peralatan berat yang menggunakan traktor sebagai penggeraknya, sama juga dengan bulldozer. Perbedaan antara loader dengan bulldozer adalah *Bucket* pada loader dapat digunakan untuk menampung beban (tanah dan pasir), sedangkan *blade* pada *bulldozer* tidak dapat digunakan untuk menampung dan membawa beban. Sesuai dengan fungsi dan kerjanya juga, maka lengan-lengan yang

mendukung kerja bucket maupun blade akan berbeda pula sehingga prinsip kerja *silinder hidrolis* lengan juga berbeda.

Jika ditinjau dari penggeraknya ada 2 macam loader yang ditunjukkan pada :

1. Loader beroda ban (wheel loader)

Terbagi menjadi 2 macam:

- i. Rear Stear, dengan alat kemudi berada di belakang.
- ii. *Articulated Wheel Loader*, kemudi ada di depan dan roda depan atau bucket dapat dibelokkan membuat sudut sampai 40° dari sumbu memanjang alat.
- 2. Loader beroda rantai/kelabang (*Track Loader*)

Untuk gambarannya *Wheel Loader* dan *Track Loader*, dapat dilihat pada Gambar 2.3. dan 2.4.





Gambar 2.3. Loader beroda ban (wheel loader).

Gambar 2.4. Loader beroda rantai/kelabang (*track loader*).

Jika *loader* ditinjau dari jenis bucket-nya ada 2 macam, yaitu :

- General purpose bucket
 Digunakan untuk material yang mempunyai kohesivitas sedang maupun tinggi, disamping itu material yang dikerjakanpun lunak.
- Multi purpose bucket
 Digunakan untuk menggali dan menampung material yang kohesivitasnya rendah dan sifat materialnya keras.

Jika bucket ditinjau dari alat kendalinya ada 2 macam jenis, yaitu :

- 1. Kendali dengan kabel.
- 2. Kendali secara hidrolis.

Untuk bekerja dengan Loader kita kenal dengan adanya *Static Tipping Load*, ialah berat minimal beban pada pusat berat beban bucket yang menyebabkan terangkatnya roda belakang *Wheel Loader*.

Static Tipping Load dihitung berdasarkan keadaan berikut:

- a. Loader bekerja pada permukaan tanah keras dan statis.
- b. Unit alat bekerja pada standar operasinya.
- c. Bucket dalam posisi miring kebelakang.
- d. Bucket pada posisi memuat maksimal ke depan.

Dari *Static Tipping Load* yang tersedia pada alat, kemampuan angkat operasinya (*operating load*) diambil sebesar **50** % dari *Static Tipping Load* untuk *wheel loader*, sedangkan untuk *crawler loader* dapat diambil sebesar **35** % dari *Static Tipping Load* alatnya. Hal ini ditentukan berdasarkan standar SAE (*Society Automotive Engineers*).

2.3. Analisa beban dan hambatan.

Untuk menghitung produksi loader, factor yang mempengaruhi adalah ukuran bucket, cycle time dan kondisi kerja/efisiensi kerja. Dari Tabel 2.1. lampiran 2 bisa didapat jenis material Lempung (Tanah Liat asli). Perancangan disini menggunakan massa jenis dari tanah liat asli, yang diasumsikan masih alami.

Untuk menentukan berapa besar daya *engine* optimal yang dibutuhkan. Besar kecil daya engine yang diperlukan tergantung dari berat operasi peralatan dan kapasitas bucket saat *Wheel Loader* beroperasi.

Berat peralatan dan beban bucket akan menimbulkan hambatan-hambatan bila loader beroperasi. Dengan mengetahui daya, putaran, dan torsi engine maka perancangan *power transmision* akan lebih mudah terutama pada penentuan dimensi dan besar reduksi yang diperlukan untuk memenuhi beban torsi.

Tahap-tahap analisa yang perlu dilakukan adalah :

- 1. Menentukan beban total engine.
- 2. Menentukan tenaga yang tersedia atau kombinasi *Draw Bar Pull* dan kecepatan yang dapat dilakukan untuk melakukan tugas pekerjaan.
- 3. Memeriksa traksi kritis peralatan agar tenaga tarik yang dapat dimanfaatkan diketahui.
- 4. Mengadakan koreksi tenaga yang tersedia bila mesin bekerja pada ketinggian 750 mdpl.

Hambatan dan Beban Wheel Loader saat beroperasi / bergerak, seperti :

- 1. Beban material saat bucket penuh.
- 2. Hambatan Gelinding (*Rolling Ressistance*)
- 3. Hambatan Kelandaian (*Grade*)
- 4. Hambatan Traksi Kritis.

2.3.1. Berat Loader

Untuk mendapatkan seberapa besar hambatan tersebut, sebelumnya dicari terlebih dahulu total berat *Wheel Loader*, yaitu :

Massa jenis dari tanah liat asli:

$$M_{ta} = 2800 \text{ Lb/yd}^3 = 1647,1 \text{ kg/m}^3.$$

Beban bucket saat terisi penuh:

$$B_b = 5 \text{ m}^3 \text{ x } 1647.1 \text{ kg/m}^3 = 8235.5 \text{ kg}$$

Berat loader saat bucket kosong:

$$B_L = 3 \times B_b = 3 \times 8235,5 \text{ kg} = 24706,5 \text{ kg}$$

2.3.2. Rolling Ressistance (WRR).

Secara praktis Rolling Ressistance bisa dihitung dengan rumus :

$$W_{RR} = C_{RR} \cdot (B_L + B_h) = 0.09 \text{ x } 32942 \text{ kg} = 2964.78 \text{ kg}$$

Koefisien Rolling Ressistance dapat dilihat pada Tabel 1.1. lampiran 1.

2.3.3. Hambatan Kelandaian (*Grade*)

Pengaruh gravitasi juga berpengaruh saat *Wheel Loader* berada pada kondisi permukaan landai (*grade*), sebesar 10 kg per ton berat kendaraan setiap % grade, untuk tingkatan tiap grade lebih lanjut lihat pada Tabel 3.1. lampiran 4. Diasumsikan *Wheel Loader* mampu menanjak, pada kemiringan maximal 30°.

$$W_G = B_L \times Sin\alpha. \tag{2.1.}$$

 $W_G = 24706.5$ kg x Sin 30° (dalam kondisi tanpa beban)

$$W_G = 12353,25 \text{ kg}$$

Apabila kendaraan dikondisikan mendaki dengan beban penuh, kelandaian yang mampu diatasi :

$$W_G = (B_L + B_b) \times Sin \alpha$$

$$12353,25 \text{ kg} = 32942 \text{ x Sin } \alpha$$

$$Sin \ \alpha = \frac{12353,25}{32942} \times 1\%$$

 $\sin \alpha = 0.375$ % atau dengan kemiringan $\alpha = 22^{\circ}$

2.3.4. Traksi Kritis.

Untuk Koefisien Traksi (C_t), dipilih 0,45 (Tabel 1.2.Lampiran 1.) untuk *Wheel Loader* dengan jenis roda ban, dan jenis permukaan tanahnya Lempung liat basah, lempung liat becek, tanah pertanian basah. Maka didapat Traksi Kritis (T_c) dengan menggunakan persamaan 2.2. :

$$T_c = C_t x (B_L + B_b)$$
(2.2.)
 $T_c = 0.45 x 32942 = 14823.9 \text{ kg}$

2.4. Pemilihan engine.

Mesin penggerak peralatan berat dituntut untuk mampu beroperasi pada bebanbeban berat kerjanya. Dalam *combustion engine* terdapat dua macam type mesin yaitu mesin diesel dan mesin bensin, yaitu :

- 1. Mesin bensin dengan kompresi rasio rendah, pembakaran harus dibantu dengan percikan bunga api sehingga sering disebut *spark ignition engine*.
- 2. Mesin diesel sering disebut *compression ignition engine* karena penyalaan bahan bakar tidak menggunakan percikan bunga api melainkan dengan memanfaatkan suhu tinggi yang diperoleh akibat udara ditekan pada perbandingan kompresi tinggi.

Untuk mesin-mesin dengan daya output besar akan lebih effisien apabila menggunakan mesin diesel, hal ini disebabkan karena besar kecil daya output yang diinginkan akan tergantung pada banyak atau sedikitnya suplai bahan bakar saja.

Dengan demikian dapat diambil kesimpulan bahwa mesin penggerak peralatan berat sebaiknya dipilih mesin diesel sesuai kebutuhan tenaga dan kondisi kerjanya. Mesin diesel umumnya memakai enam buah silinder segaris, dalam operasinya mesin ini menimbulkan getaran torsi yang lebih besar bila dibandingkan dengan mesin bensin. Untuk gambaran mesin diesel ditunjukan pada gambar 2.5.



Gambar 2.5. Mesin Diesel untuk prime mover Loader.

Beban dan hambatan yang sudah diketahui untuk sementara, adalah :

Hambatan Gelinding (Rolling Ressistance)	$W_{RR} = 2964,78 \text{ kg}$
Hambatan Kelandaian (Grade)	$W_G = 12353,25 \text{ kg}$
Traksi Kritis	Tc = 14823.9 kg +

Beban dan Hambatan Total:

2.5. Daya untuk mengatasi beban dan hambatan.

Dapat menggunakan rumus dari persamaan 2.3. berikut ini:

Ne =
$$\frac{B_{HT} \times v}{273,85 \times \eta_m}$$
 (2.3)
Ne = $\frac{30141,93 \ kg \times 6 \ \frac{km}{jam}}{273.85 \times 0.85}$ = 776,95 HP

 $B_{\rm HT} = 30141,93 \text{ kg}$

Keterangan:

Ne = tenaga engine (HP)

 B_{HT} = tahanan yang harus ditanggung oleh engine (kg)

 $\eta_{\rm m}$ = efisiensi mekanis (85 %)

v = kecepatan pada transmisi 1 (asumsi 6 km/jam)

2.6. Daya untuk perlengkapan hidrolis:

Dengan asumsi, diameter piston hidrolik untuk bucket = 14 cm.

$$N_{p} = \frac{Q \times p}{455 \times \eta_{p}}$$

$$N_{p} = \frac{30 \times 250}{455 \times 0.85} = 55,41 \text{ HP}$$
(2.4.)

Keterangan:

 $N_p = daya pompa (HP)$

Q = debit maksimum (ltr/menit), asumsi 30 ltr/menit.

P = tekanan kerja pompa (kg/cm²).

 η_p = efisiensi pompa 85 % ≈ 0.85

Total daya yang dibutuhkan prime mover Wheel Loader:

$$P_t = N_p + N_e$$

 $P_t = 55,41 + 776,95$
 $P_t = 832,4 \text{ HP}$

Maka dipilih engine minimal, seperti spesifikasi sebagai berikut ini :

ENGINE:		
Model		KOMATSU SDA12V140-1
No. of cylinders.(Bore x Stroke)	mm (in)	6 - 140 x 165 (5,51 x 6,50)
Piston displacement	ltr. (cu.in)	30,5 (1861)
OPERATING WEIGHT*	kg (lb)	
FLYWHEEL HORSEPOWER:		
SAE	HP(kW)/rpm	899 (671) / 2000

Koreksi daya engine dengan persamaan 1.2:

$$Rimpull = \frac{375 \times HP \times Efisiensi}{Kecepa \tan{(mph)}}$$
 (lbs)
$$Rimpull = \frac{375 \times 899 \times 85\%}{100 (mph)} = 2865,563 \text{ lbs} = 1300,96 \text{ kg}$$

Efisiensi nilainya berkisar antara 80 - 85%, sedang HP adalah tenaga mesin dalam *Horse Power*.

2.7. Koreksi diameter poros dan torsi engine.

Kopling karet ban menghubungkan tenaga dari *engine* ke sistem transmissi, sehingga beban yang diterima kopling karet ban cukup besar dan bekerja secara terusmenerus, sehingga perlu dilakukan koreksi terhadap faktor tambahan beban (c) dan kopel nominal (M_W) .

Momen puntir dari engine (T_m):

$$T_{\rm m} = 9,74.10^5 \times \frac{P}{n_1}$$
 (2.5.)
 $T_{\rm m} = 9,74.10^5 \times \frac{671}{2000} = 326777 \text{ kg.mm}$

Dianggap bahan poros mesin terbuat dari bahan berikut ini :

Bahan poros:JIS G 4104 (SCr 3)Perlakuan panas:Pengerasan kulitKekuatan tarik: 90 kg/mm^2 Factor koreksi daya (f_c) :1,5 daya normal

Kelelahan puntir

$$M_{ptr} = \sigma_B \times 18\% = 90 \times 0.18 = 16.2 \ Kg / mm^2$$
 (2.6.)

Kelelahan tarik

$$M_{trk} = \sigma_B \times 45\% = 90 \times 0.45 = 40.5 \ Kg / mm^2$$
 (2.7.)

Tegangan Geser

$$\tau_a = M_{trk} \times 40\% = 40.5 \times 0.4 = 16.2 \text{ Kg/mm}^2$$
(2.8.)

 $Sf_1 = 6.0$ (bahan S-C dengan pengaruh massa dan baja paduan)

$$Sf_2 = 1,3 - 3,0$$
 dipilih 1,3. (bertangga)

Dalam hal ini besarnya tegangan geser (τ_a) maximum :

$$\tau_{a} = \frac{\sigma_{B}}{(Sf_{1} \times Sf2)} = \frac{90}{(6.0 \times 1.3)} = 11.5 \frac{Kg}{mm^{2}}$$
 (2.9.)

 $K_t = 2.0$ (tumbukan besar)

 $C_b = 1,0$ (asumsi tidak ada beban lentur)

Maka didapat diameter poros engine (d_s):

$$d_{s} = \left[\frac{5,1}{\tau_{a}} . K_{t} . C_{b} . T \right]^{\frac{1}{3}}$$
 (2.10.)

$$d_s = \left[\frac{5.1}{11.5} \cdot 2.0.1.0 \cdot 326777 \right]^{\frac{1}{3}} = 67.2 \text{ mm}$$

dari Tabel 2.8. lampiran 4, dapat dipilih diameter poros engine dengan menganggap diameter poros sebesar $(d_s) = 70 \text{ mm}$

Tegangan geser (τ) yang terjadi :

$$\tau = \frac{5.1 \times 358432}{70^3} = 5.33 \ Kg / mm^2 \dots (2.11.)$$

Maka tegangan geser poros (τ_a) maximum 11,5 $\frac{Kg}{mm^2}$ dapat terpenuhi dengan

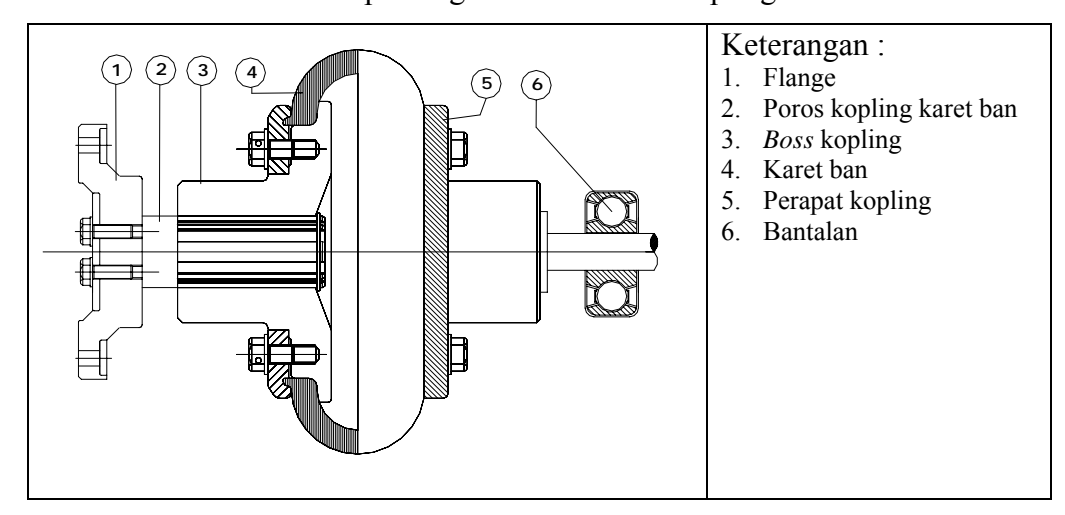
Tegangan geser (τ) yang terjadi 5,33 $\frac{Kg}{mm^2}$, artinya poros aman.

BAB III

PERANCANGAN DAMPER

3.1. Perancangan Kopling Karet Ban (Damper)

Sebagai peredam dari getaran engine maka, jenis kopling yang dipilih adalah kopling *flexsibel* jenis karet ban. Adapun bahan yang digunakan terbuat dari karet ban dengan elastisitas tinggi yang didalamnya dilapisi kawat yang ditenun dan ditekan oleh dua buah cincin penekan pada kedua paruhan kopling. Pada bubungan paruhan kopling yang menekan blok elastik diperkuat dengan dilapisi kanvas. Elemen transmisi berupa mangkok karet berbentuk cincin peredaman. Kopling ini tersambung oleh sebuah poros dari *engine* yang di pasang pada *flange engine*. Pada Gambar 3.1. berikut ini merupakan gambaran bentuk kopling karet ban:



Gambar 3.1. Bentuk kopling karet ban.

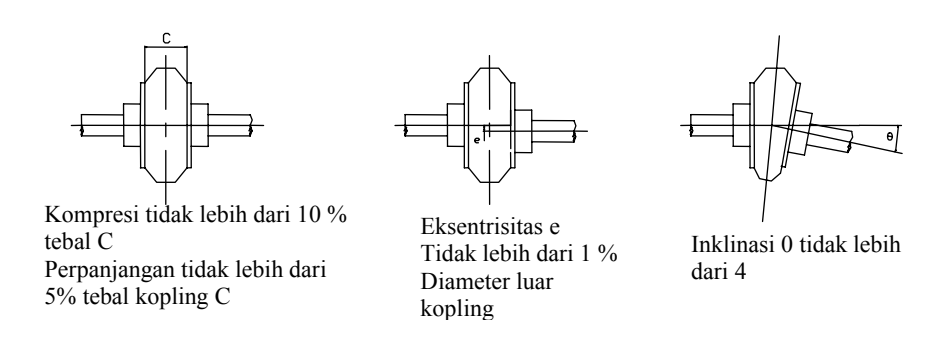
Fungsi dari kopling karet ban :

- a. Sebagai pemindah daya dari *engine* ke sistem *power train* (*torqflow transmission*) dengan torsi yang dihasilkan lebih kecil, hal ini dikarenakan adanya perubahan momen yang di terima akibat gaya poros pada *output engine*.
- b. Berfungsi sebagai peredam (damper) yang berguna meredam getaran yang berasal dari momen puntir engine (akibat putaran crankshaft), sehingga dapat melindungi komponen dari kerusakan akibat torsi yang dihasilkan oleh engine.
- c. Mengurangi gejala resonansi.

- d. Sebagai pengkoreksi adanya penyimpangan pada poros dan sebagai isolasi listrik pada poros yang disambung.
- e. Memindahkan gaya tumbukan dengan hasil lebih kecil dari satu bagian kebagian lainnya, hal ini dikarenakan adanya:
 - Sebagian dari kerja tumbukan yang diubah menjadi bentuk kerja lain (pada bagian yang elastik seperti pegas).
 - Sebagian dari kerja yang mengalami perubahan bentuk pada karet diubah menjadi kalor.

Keuntungan dari kopling karet ban :

- a. Dapat bekerja baik meskipun kedua poros yang dihubungkannya tidak benarbenar lurus.
- b. Apabila terjadi kesalahan pada pemasangan poros, dalam batas-batas tertentu kopling ini masih dapat meneruskan daya dengan halus dan untuk lebih jelasnya dapat dilihat pada Gambar 3.2.
- c. Pemasangan dan pelepasan dapat dilakukan dengan mudah.
- d. Variasi beban dapat diserap oleh karet ban dan hubungan listrik antara kedua poros dapat dicegah.



Gambar 3.2. Daerah kesalahan yang diizinkan pada kopling karet ban. (Sumber: Dasar perencanaan dan pemilihan elemen mesin, hal 36, Sularso.)

Prinsip kerja kopling karet ban:

Putaran dan torsi dari *engine* di pindahkan ke *flange* dan diteruskan ke kopling karet ban melalui sebuah poros. Pada kopling karet ban ini daya, putaran dan torsi diteruskan ke *Torqueflow transmission* melalui sebuah poros.

Sebelumnya sudah didapat :

Daya (P) = 671 kW

Putaran engine (n) = 2000 rpm

Momen puntir dari engine $(T_m) = 326777$ kg.mm

3.2. Perancangan poros.

Menurut perhitungan daya engine, maka dipilih kopling karet ban sementara dengan ukuran berikut (lampiran 5):

Diameter luar (D)		445 mm
	S_1	41410 mm ²
	S_2	17082 mm ²
Kopling	d_1	356 mm
	d_2	272 mm
	С	139 mm
	τ_a (diizinkan)	0.04 kg/mm^2
121	Е	332 mm
Flens	F	160 mm
	D. poros max	90 mm
Lebar total (L _T)		363 mm
Momen normal max (kg.m)		160 kg.m
Momen puncak (kg.m)		400 kg.m
Kecepatan max (rpm)		1600 rpm
Bahan poros		S45C

Dalam hal ini diasumsikan bahwa momen terbesar terjadi pada kopling karet ban, dengan tekanan bidang yang dikerjakan pada bahan elastis dan harga yang diijinkan untuk karet 0,8 - 1,4 N/mm².

Untuk memperoleh harga momen, dapat dicari melalui Persamaan 3.12. dan 3.13. berikut ini :

Dengan daya 671 kW

$$M_c = c \times M_t$$
(3.12.)

$$T_{\rm m} = \frac{P}{\omega} \qquad (3.13.)$$

Sehingga:

Jika 1 kW = 102 Kg.m/s,

671 kW x 102 =
$$\frac{68442 \text{ kg.m/s}}{60 \text{ s}}$$
 = 1140,7 $\frac{\text{kg.m/s}}{\text{s}^2}$

$$T_{\rm m} = \frac{1140.7 \times 9.81}{2.\pi \frac{2000}{60} (1/\det)} = 53.45 \ N.m$$

Dari lampiran 6, harga c untuk kopling gesek menurut *Flender* (Ir.J.Stolk dan Ir.C.Kros, *Elemen konstruksi bangunan mesin*, penerbit ERLANGGA Jakarta Pusat, Edisi 22 1993, hal 209). Harga c lebih dari pemakaian 8 Jam/hari harus dikalikan 0,9,

1,06 dan 1,12 dan karena *engine daya* menggunakan 6 silinder maka diambil angka 0,43 yang sebanding dengan Turbin Air, Motor Bakar dengan 4.....6 silinder, derajat ketak-beraturan 1 : 100 sampai dengan 1 : 200.

$$c = 0.9 \times 4.3 = 3.87$$

Momen puntir koreksi (M_k):

$$M_k = c \times T_m$$

$$M_k = 3.87 \text{ x } 53.45$$

 $M_k = 206,87 \text{ N.m} \text{ (dibagi gravitasi } 9,81 \text{ m/s}^2\text{)}$

$$M_k = 21,088 \text{ kg.m} = 21088 \text{ kg.mm}$$

Poros ini menerima beban momen puntir (T_m) dan beban lentur akibat berat dari kopling karet ban dan *flange* penyambung poros engine dengan poros kopling karet ban.

Nama komponen	Boss pada piringan dan silinder kopling	Bahan flange
Bahan (Tabel. Pemilihan bahan pada lampiran.14)	S45C	S40C
Massa jenis bahan (Tabel.Massa jenis untuk bahan pada lampiran.12)	7,801 kg/m ³ .	7,801 kg/m ³ .

Reaksi gaya vertikal kopling karet ban diakibatkan oleh berat boss pada piringan dan silinder kopling karet ban, sehingga dengan persamaan 3.14. berikut ini dapat dicari berat dari boss (W_k) dan berat dari flange (W_f) :

Berat boss:

$$W_k = \rho.\pi. \left(\frac{D_{1000}}{2}\right)^2.L_T$$
 (3.14.)

$$W_k = 7,801 \times 10^3 \cdot \pi \cdot \left(\frac{0,445}{2}\right)^2 \cdot 0,363$$

$$W_k = 440,196 \text{ kg (satu sisi) } (\downarrow)$$

Berat bahan karet : 5 kg

Berat keseluruhan kopling karet ban $(W_k) = 881 + 5 = 890.393 \text{ kg}$

Flange penghubung:

Diketahui >>> diameter
$$(d_f) = 90 \text{ mm}$$

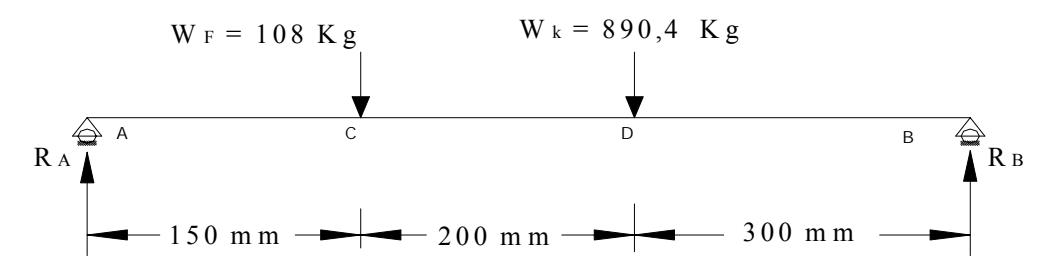
lebar (
$$b_f$$
) = 181,5 mm

$$W_{\rm f} = \rho.\pi. \left(\frac{E/1000}{2}\right)^2.F$$

$$W_f = 7,801 \times 10^3 \cdot \pi \cdot \left(\frac{0,332}{2}\right)^2 \cdot 0,160$$

= 108 kg (\(\psi\))

Berikut disajikan gambaran poros yang mengalami beban vertical dari beban massa kopling karet ban dan flange, dari kedua ujung poros kopling karet ban pada Gambar 3.3. berikut.



Gambar 3.3. Gaya vertical yang dialami poros kopling karet ban.

Reaksi gaya vertical yang dialami R_A dan R_B:

$$\sum M_A = 0$$

$$R_B = \frac{(890,4 \times 350) + (108 \times 150)}{650} = 504,4 \text{ kg}$$

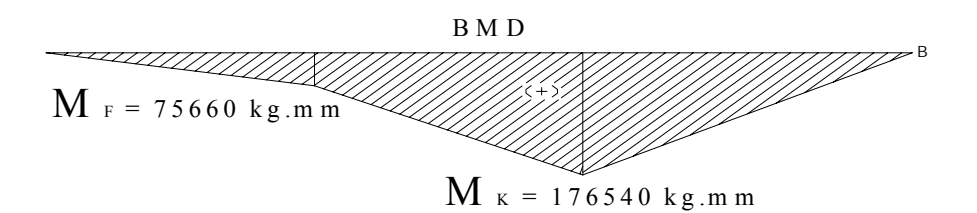
$$\sum F = 0$$

$$R_A = (108 + 890,4) - 504,4 = 494 \text{ kg}$$

Besarnya momen yang terjadi pada W_F dan W_k:

$$M_F = 504,4 \text{ x } 150 = 75660 \text{ kg.mm}$$

 $M_k = 504,4 \text{ x } 350 = 176540 \text{ kg.mm}$



Gambar 3.4. Momen yang terjadi akibat berat pada poros kopling karet ban.

Untuk mendapatkan momen pengimbang dapat dicari melalui persamaan 3.15. berikut ini :

$$M_V = \sqrt{(M_k)^2 + (a/2.M_F)^2}$$
(3.15.)

Dengan, a = 1,0 (untuk σ_B tidak konstan dan τ_t membesar) Maka,

$$M_V = \sqrt{(176540)^2 + (1,0/2.75660)^2}$$

 $M_V = 176540 \text{ kg.mm}$

Besarnya diameter minimal poros dapat dicari dengan persamaan 3.16. berikut ini :

$$d_{s} \ge 2,17 \sqrt[3]{b \frac{M_{V}}{\sigma_{bzul}}}$$
(3.16.)

Sesuai dengan Tabel bahan poros pada lampiran 9, bahan poros yang digunakan adalah baja C45 dengan kekuatan tarik bahan 820 N/mm² \approx 84 kg/mm².

Tegangan lentur izin yang diizinkan dapat dicari melalui persamaan 3.17. berikut ini :

$$\sigma_{\text{bzul}} = \frac{\sigma_{\text{bw10}} \ b_0}{S_s \ c} \tag{3.17.}$$

dengan,

 b_0 = factor ukuran diambil 0,65

 S_s = factor keamanan kerja diambil 1,5

c = factor kesalahan pembebanan (ditentukan 30%)

Sesuai dengan Grafik pada lampiran 14, Grafik hubungan antara tegangan lelah dengan tegangan tarik maksimal pada poros. (Sumber : G.Niemann & H.Winter Elemen mesin Jilid I Edisi II, Jakarta 1994, hal.249-263) untuk kekuatan tarik bahan 84 kg/mm² pada kurva 1 didapatkan σ_{bw10} = 37 kg/mm².

Sehingga:

$$\sigma_{bZul} = \frac{37.0,65}{1.5.0.3} 10^2 = 5344 \text{ kg/cm}^2$$

$$ds \ge 2,17 \sqrt[3]{1,0 \cdot \frac{176540}{5344}} \ge 5,75 \text{ cm} \approx 57,5 \text{ mm}$$

Besarnya tegangan puntir poros dapat dicari melalui Persamaan 3.18. (Ir.J.Stolk dan Ir.C.Kros, 1993.hal.189):

$$\tau_{\rm w} = \frac{M_{\rm t}}{0.2\,{\rm ds}^3} \qquad(3.18.)$$

Dengan : $M_t = 21088$ kg.mm

Sehingga:

$$\tau_{w} = \frac{21088}{0.2.57.5^{3}} = 0,555 \ kg / mm^{2}$$

Tegangan puntir yang terjadi pada poros lebih kecil daripada tegangan tarik bahan poros yang diijinkan. Dalam hal ini poros dapat dinyatakan pada kondisi aman, dengan ukuran poros minimal kopling karet 57,5 mm.

3.3. Putaran kritis poros:

Berat benda yang berputar W_k = 890.393 kg dan W_f = 108 kg

Dengan menggunakan persamaan 4.24. maka berat poros kopling karet ban (W_p) bisa didapat :

$$W_p = 7,801 \times 10^3 \cdot 3,14 \cdot \left(\frac{57,5/1000}{2}\right)^2 \cdot \frac{200/1000}{1000}$$

$$W_p = 4,15 \text{ kg}$$

Besarnya putaran kritis yang terjadi pada masing-masing benda yang berputar dapat dicari melalui Persamaan 3.19. (Soelarso dan Kiyokatsu .S, 1997, hal.19):

$$N_{C} = 52700 \times \frac{d_{s}^{2}}{L_{1} \times L_{2}} \sqrt{\frac{L}{W}}$$

$$N_{Cf} = 52700 \times \frac{57.5^{2}}{150 \times 200} \sqrt{\frac{1000}{108}} = 17673,12 \text{ rpm}$$

$$N_{CK} = 52700 \times \frac{57.5^{2}}{350 \times 300} \sqrt{\frac{1000}{890,4}} = 1731,33 \text{ rpm}$$

$$N_{Cp} = 52700 \times \frac{57.5^{2}}{150 \times 300} \sqrt{\frac{1000}{415}} = 60127,61 \text{ rpm}$$

Maka, besarnya putaran kritis sistem tersebut adalah:

$$\frac{1}{N_{co}^2} = \frac{1}{(17673,12)^2} + \frac{1}{(1731,33)^2} + \frac{1}{(60127,61)^2}$$
 (3.20.)

$$\frac{1}{N_{co}^2} = 10^{-6} \cdot (3,2.10^{-3} + 0,334 + 2,8.10^{-4})$$

$$N_{co}^2 = 10^6 \cdot 12,5735$$

$$N_{co} = 3546 \text{ rpm}$$

Koreksi terhadap faktor keamanan:

$$\frac{2000}{3546}$$
 = 0,564 \leq (0,6 – 0,7), syarat keamanan terpenuhi.

Sudah didapat:

Diameter Poros *engine* $(d_s) = 70 \text{ mm}$

Diameter Maximal Poros Kopling Karet Ban $(d_{kb}) = 90 \text{ mm}$

Diameter Minimal Poros Kopling Karet Ban $(d_{kb}) = 57.5 \text{ mm}$

Maka dipilih dimensi kopling karet ban yang sesuai dengan syarat tersebut, dari lampiran 4 didapat dimensi kopling karet ban dapat dilihat pada tabel dibawah ini :

Tabel Ukuran Kopling Karet Ban		
Diameter luar	(D)	340 mm
	S_1	20012 mm ²
	S_2	12045 mm ²
Kopling	d_1	267 mm
	d_2	214 mm
	С	106 mm
	τ _a (diizinkan)	0.04 kg/mm^2
Flens	Е	264 mm
	F	125 mm
	D. poros max	71 mm
Lebar total (L _T)		286 mm
Momen normal max (kg.m)		82 kg.m
Momen puncak (kg.m)		205 kg.m
Kecepatan max (rpm)		2100 rpm
Bahan poros		S45C

Besarnya toleransi kesalahan yang diperbolehkan pada pemasangan kopling karet ban dapat ditentukan sebagai berikut :

- Ekssentrisitas e < 1 % dari diameter luar kopling (A)

$$e = \frac{1}{100} \times 340 = 3.4 \text{ mm}$$

- Besarnya sudut *inklinasi* yang diperbolehkan : $\theta < 4^{\circ}$
- Kompresi Pc < 10 % dari tebal kopling (C):

$$Pc = \frac{10}{100} \times 106 = 10,6 \text{ mm}$$

Gesekan pada bahan kopling karet ban akan berpengaruh pada putaran *output* yang dihasilkan. Pada penjelasan diatas, diketahui bahwa bahan kopling terbuat dari karet elastis yang ditenun dan dilapisi kanvas. Maka sesuai dengan Tabel bahan koefisien gesek kopling menurut *Flender* pada Lampiran.8, maka koefisien gesek yang diijinkan sebesar 0,65.

3.4. Perhitungan baut pengikat antara kopling karet ban dengan boss.

Jumlah baut : $n = 2 \times 6$, maka nilai efektif baut $\varepsilon = 0.5$, hal ini dikarenakan hanya 50 % yang menerima beban secara merata,

sehingga jumlah baut efektif (n_e) :

$$(n_e) = 0.5 \times 12 = 6 \text{ buah}.$$

Sebelum melakukan perancangan dan perhitungan baut, perlu dilakukan pemeriksaan terhadap tegangan geser yang terjadi pada bagian yang menempel, yaitu bagian piringan dan silinder. Tegangan geser yang terjadi dapat dicari melalui Persamaan 3.21. berikut ini (Soelarso dan Kiyokatsu .S, 1997, hal.39):

$$\tau_{t} = \frac{M_{k}}{\left(S_{1} \frac{d_{1} + d_{2}}{4} + S_{2} \frac{d_{2}}{2}\right)}$$
 (3.21.)

Diketahui tegangan geser yang dijinkan $\tau_{ta} = 0.04 \text{ kg/mm}^2$

Tegangan geser yang terjadi antara ban kopling dan logam pemasang:

$$\tau_t = \frac{176540}{\left(20012 \, \frac{267 + 214}{4} + 12045 \frac{214}{2}\right)} = 0,023 \, \text{kg/mm}^2$$

Jenis baut yang dipilih baut tanam, maka sesuai dengan Tabel Ukuran baut standar JIS pada Lampiran.12, ukuran baut M12.

Koreksi terhadap baut :

Sesuai dengan Tabel Bahan baut pada kopling pada Lampiran.12, bahan baut yang dipilih adalah SS50B (JIS G 3101) kekuatan tarik bahan (σ_B) = 50 kg/mm².

Harga faktor keamanan yang dipilih $Sf_1 = 6$ dan $Sf_2 = 3$ (dikarenakan pengaruh konsentrasi tegangan).

Tegangan geser baut yang diijinkan : 4,6 kg/mm²

Gaya yang terjadi pada baut :

$$F_{b} = \frac{M_{k}}{R_{p}}$$
(3.22.)
= $\frac{176540}{140}$ = 1261 kg, dibagi jumlah baut 6 buah = 210,2 kg

Keterangan:

 $R_p = \text{radius pembautan (140 mm)}$

Tegangan geser baut yang terjadi:

$$\tau_b = \frac{F_b}{\pi \times r_b^2}$$
(3.23.)
= $\frac{210.2}{3.14 \times 5.05^2} = 2,63 \text{ kg/mm}^2$

Keterangan : $r_b = jari - jari baut (5,05 mm)$

Hasil dari perhitungan diketahui bahwa tegangan yang terjadi pada baut 0,22 kg/mm² lebih kecil daripada tegangan 4,76 kg/mm² yang diizinkan, sehingga hal tersebut memenuhi syarat keamanan.

BAB IV

TRANSMISI

4.1. Jenis-jenis Transmisi Alat berat.

Secara umum sistem *transmisi* pada peralatan berat ada 3 macam, yaitu :

1. Direct Drive Transmission.

Direct drive Transmision adalah transmisi yang menggunakan flywheel clutch sebagai media penghubung dan pemutus antara engine dengan transmisi. Clutch ini dioperasikan secara manual. Flywheel clutch berfungsi pada saat machine akan bergerak ketika terjadi perpindahan gigi (gear shifting). Berdasarkan cara kerjanya direct drive Transmision dibedakan atas tiga macam, yaitu sliding gear, collar shift dan synchromesh. Sistem transmisi ini digunakan untuk kendaraan alat berat dengan pengoperasian ringan dengan kondisi medan kerja yang relatif rata.

2. Hydrostatic Transmision.

Hydrostatic transmision adalah sistem transmisi yang mentransfer tenaga dengan menggunakan hydraulic system yang berfungsi untuk mengatur kecepatan dan arahnya. Sistem transmisi ini digunakan untuk kendaraan alat berat dengan pengoperasian relatif ringan dengan daya engine kecil.

3. Power Shift Transmission.

Power shift transmision adalah transmisi yang menggunakan coupling fluida, dimana perpindahan giginya langsung tanpa harus memutus hubungan antara engine dengan transmisi, hal ini untuk mempermudah dalam pengoperasiannya. Sistem kerja transmisi ini menggunakan planetary gear set. Sistem tersebut lebih efektif penggunaannya dibanding dengan sliding gear transmision dan untuk menghubungkankan clutch digunakan transmision control valve.

Wheel loader sesuai dengan beban bucket 5 m³ dan kondisi kerjanya ditanah liat/lempung lebih cocok menggunakan tipe Power shift transmision. Dengan menggunakan transmision Roda gigi planet yang dirangkai sedemikian rupa sehingga antara roda gigi planet yang satu dengan yang lainnya saling

bekerja sama, dalam proses penerusan daya dan putaran. Bentuk roda gigi planet disajikan pada Gambar 4.1. dibawah ini.



Gambar 4.1. Planetary Gear set.

4.2. Prinsip kerja roda gigi planet.

Pada suatu rangkaian roda gigi terdapat tiga komponen utama yaitu *ring* gear, sun gear dan planet carrier. Hubungan antara roda gigi planet tersebut melalui perantaraan pembawa planet (carrier). Berikut penjelasan fungsi dan tugas kerja tiap bagian didalam planetary system.

a. Ring gear diam.

Ketika *ring gear* dibuat diam oleh aplikasi *disc clutch* dan *sun pinion* (sebagai input) berputar searah jarum jam (*clock wise*) oleh engine, maka *planet pinion* akan menggelinding pada *ring gear* searah dengan *sun gear* dan pada waktu yang bersamaan *planet pinion* tersebut akan berputar pada *carrier* (pembawa planet) berlawanan dengan putaran *sun gear* (*counter clock wise*). Sedangkan *planet carrier* akan berputar searah dengan putaran *sun gear* namun dengan perbandingan kecepatan tertentu.

b. Sun Gear diam.

Sekarang kita asumsikan *sun gear* diam dan sebagai input adalah *ring gear*, apabila *ring gear* diputar maka *planet carrier* akan berputar searah dengan putaran *ring gear*, sedangkan *planet pinion* akan berputar menggelinding pada *sun gear*.

c. Carrier.

Sebagai perantaraan dan hanya mengikuti putaran *planet pinion* dengan berbeda perbandingan putaran yang juga bertugas sebagai *output* dari putaran *input sun pinion*.

Pada umumnya pembawa planet (*carrier*) didukung oleh tiga buah *planet pinion* atau lebih. Dengan penggunaan jumlah roda gigi planet yang banyak maka

gaya yang akan diterima gigi akan lebih merata dengan catatan semua gigi mendapat kontak secara tepat.

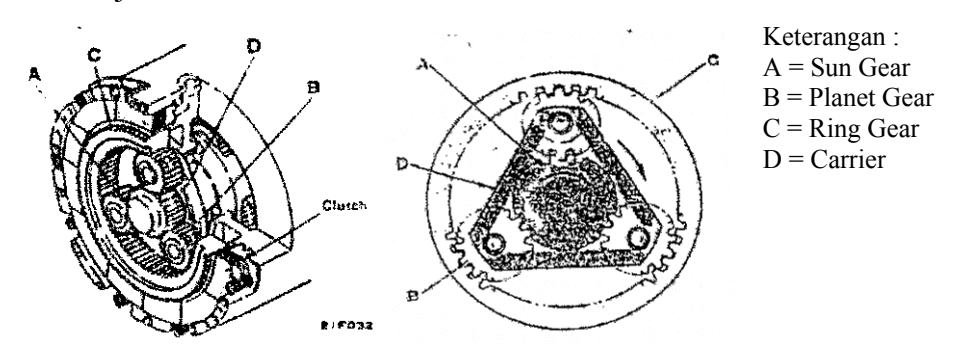
Untuk meneruskan daya dan putaran, sistem transmisi roda gigi planet perlu dihentikan (dibuat fixed) salah satu komponen penyusunnya. *Ring Gear* sesuai dengan posisinya pada sistem biasanya yang dibuat diam agar konstruksi pembuatannya lebih mudah, tidak akan mengganggu kerja komponen yang lain dan dapat menghasilkan perbandingan reduksi yang lebih besar. Dengan aplikasi *disc clutch* maka operasi penghentian akan berjalan lebih cepat, pada transmisi *Wheel loader* ini digunakan *multiple disc in oil clutch*.

4.3. Jenis Planetary gear system.

Planetary gear system terdiri dari dua jenis, yaitu single pinion type dan double pinion type.

a. Single pinion type.

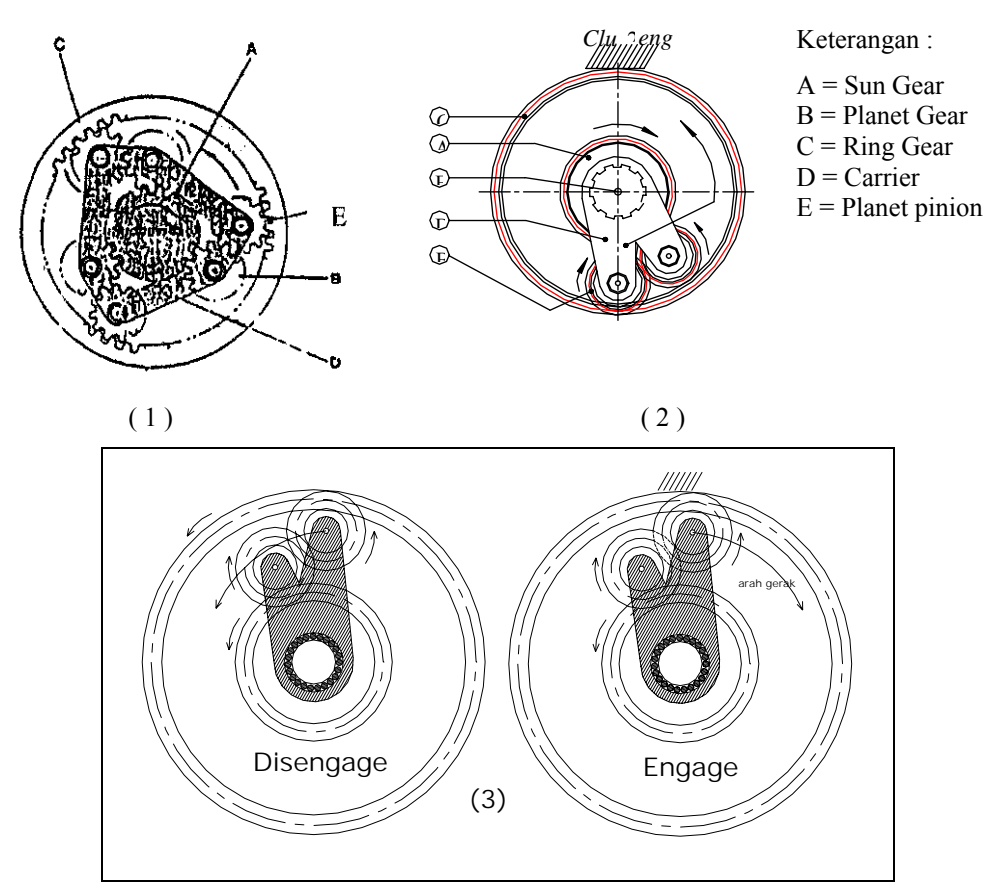
Cara kerjanya dari system ini seperti prinsip kerja yang sudah dijelaskan diatas.



Gambar 4.2. Planetary gear system single pinion type.

b. Double pinion type.

Cara kerjanya adalah dengan menahan *ring gear*. *Sun gear* berputar searah jarum jam bersamaan memutar *planet pinion* dengan arah *planet pinion* (B) akan memutar *planet pinion* (E) dengan arah yang berlawanan juga. *Carrier* yang terpasang pada *planet pinion* ikut berputar berlawanan arah dengan *sun gear*. *Sun gear* sebagai *input* dan *carrier* sebagai *output*, maka didapatkan putaran *input* berlawanan arah dengan *output*. Secara sederhana *Double pinion type* disajikan pada Gambar 4.3.



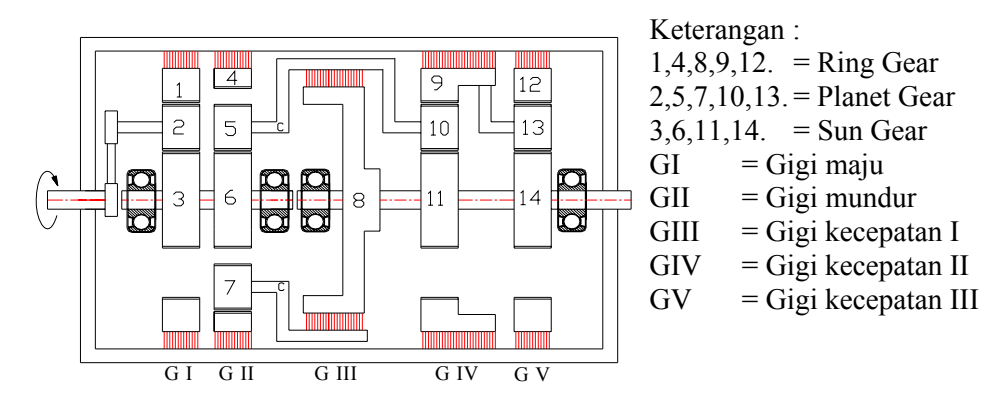
Gambar 4.3. Planetary gear system double pinion type (1 dan 2) dan arah gerak (3).

Penggunaan sistem *torqflow transmision* ini memiliki beberapa keuntungan dan kekurangan, diantaranya :

- 1). Keuntungan sistem toraflow transmision:
 - a. Transfering torque lebis luas dan hal ini menyebabkan lebih tahan lama.
 - b. Reduksi besar dan effisiensi mekanis relatif tinggi.
 - c. Ukuran transmisi relatif kecil, sehingga pengoperasiannya lebih efektif.
 - d. Setiap perpindahan kecepatan atau perubahan arah gerak maju (forward) dan mundur (reverse) tanpa menghentikan putaran input shaft.
 - e. Gesekan yang ditimbulkannya lebih sedikit (lebih halus).
 - f. Pelumasannya lebih merata.
- 2). Kekurangan sistem torqflow transmision:
 - a. Kontruksinya lebih rumit
 - b. Perawatannya lebih rumit.

4.4. Perancangan transmisi.

Pada perancangan *prime mover wheel loader* untuk tanah liat ini menggunakan enam tingkat kecepatan dengan perinciannya adalah tiga tingkat untuk kecepatan maju dan tiga tingkat untuk kecepatan mundur. Untuk gambaran perencanaan transmisi dan sistem pada setiap kecepatan dapat dilihat pada Gambar 4.4. dan Tabel 4.1. Sistem pada setiap tingkat kecepatan perencanaan transmisi planetary.



Gambar 4.4. Rancangan transmisi planet.

Arah dan Tingkat kecepatan	Gigi Engage
Maju I	GI dan GV
Maju II	GI dan GIV
Maju III	GI dan GIII
Mundur I	GII dan GV
Mundur II	GII dan GIV
Mundur III	GII dan GIII

Tabel 4.1. System kecepatan pada perencanaan transmissi planetary.

Sudah diketahui dari bab sebelumnya bahwa:

Putaran pada daya maximum $(n_{engine}) = 2000 \text{ rpm}$

Diameter Poros input planetary dari perhitungan awal $(D_{in}) = 60 \text{ mm}$

Diameter Poros output kopling karet ban sebesar $(D_{kb}) = 60 \text{ mm}.$

4.5. Penentuan angka transmisi.

Rimpull Wheel loader pada gerakan maju kecepatan tingkat I lebih diutamakan karena merupakan awal operasi yang membutuhkan tenaga besar, sedang kecepatan pergerakannya mengikuti speed ratio yang diperlukan untuk mengatasi rimpull. Besar masing-masing angka transmisi akan mempengaruhi kecepatan gerak dan tenaga yang mampu dihasilkan peralatan.

Angka transmisi gerak maju pada kecepatan tingkat I ditentukan berdasarkan pada gaya traksi maksimal dan torsi engine maksimal yang dilengkapi dengan besarnya diameter roda jenis *Tubless Tire* dan juga dikarenakan pergerakan awal loader dengan beban penuh mendapatkan hambatan yang besar.

Diketahui:

Gaya traksi maksimal (FT_c) = 14823,9 kg

Torsi poros input (T_m) = 326777 kg.mm

Diameter ban = 1651 mm

Kecepatan	Gaya Traksi Maximal (kg)	Tenaga yang difungsikan (kg)
	Tingkat I	14823,9 kg
Maju / Mundur	Tingkat II (60%)	8894,34 kg
	Tingkat III (25%)	3705,975 kg

Tabel 4.2. Tenaga traksi maxmimal yang difungsikan transmissi.

PERFORMANCE	Travel speeds	
	1st	0 - 37.4 km/jam = 2.244 m/s
Maju	2nd	0 - 41,1 km/jam = 2,466 m/s
	3rd	0 - 49.3 km/jam = 2.96 m/s
	1st	0 - 41,1 km/jam = 2,466 m/s
Mundur	2nd	0 - 49.3 km.jam = 2.96 m/s
	3rd	0 - 58 km/jam = 3,48 m/s

Tabel 4.3. Kecepatan yang direncanakan kondisi beban total.

Laju kecepatan Loader dipengaruhi oleh besarnya diameter roda (*whell*). Kecepatan maju I (0 - 37,4 km/jam) merupakan kecepatan paling rendah, maka dijadikan dasar untuk mencari besarnya (*i*) total :

Dari Tabel 4.3. Kecepatan yang direncanakan. : 37,4 km/jam = 2,244 m/sMaka putaran roda rencana (n_r) transmisi maju I dengan beban penuh :

$$n_{\text{roda}} = \frac{2,244 \frac{m}{s} . 60}{\pi . 1,651 m} = 25,98 \text{ rpm}$$

Harga (i) dapat dicari melalui Persamaan 4.24. :

$$i_{\rm T} = \frac{n_{engine}}{n_{roda}} = \frac{2000}{25,98} = 76,98$$
 (4.24)

Reduksi putaran sampai dengan putaran roda sebanyak dua tingkat, untuk *hypoid* bevel gear perbandingan reduksinya diambil sebesar $(i_g) = 4,01$ berdasarkan perhitungan-perhitungan uji coba perancang (*trial and error*).

Maka total sampai dengan perputaran roda dari whell loader sebesar:

$$i_{F1} = \frac{i_T}{i_\sigma} = \frac{76,98}{4,01} = 19,19$$

Dengan:

 i_{F1} = perbandingan transmisi planet

 i_g = perbandingan *hypoid bevel gear*

Perhitungan diatas mewakili perhitungan tingkat kecepatan yang lainnya, pada Tabel 4.4. ditampilkan perbandingan tiap tingkat kecepatan.

Tingkat	Kecepatan	n _{roda} (rpm)	$i_{ m T}$	$i_{\mathrm{F}1}$
Maju	I	25,98	76,98	19,19
	II	28,54	70,07	17,47
	III	34,25	58,39	14,56
Mundur	I	28,54	70,07	17,47
	II	34,25	58,39	14,56
	III	40,27	49,66	12,38

Tabel 4.4. Perbandingan reduksi tiap tingkat kecepatan.

Dengan bentuk sistem dan perbandingan yang sudah ditetapkan diatas, maka planetary dapat diasumsikan memiliki perbandingan seperti berikut ini ditampilkan dalam Tabel 4.5. untuk lebih mudah dalam perhitungan transmisi planetary sampai dengan perputaran roda akhir.

	G_{I}	G_{II}	G _{III}	G_{IV}	G_{V}	$\mathbf{i_g}$	\mathbf{i}_{T}
Maju I					1,51		76,98
II	12,7			1,37			70,07
III			1,14			4,01	58,39
Mundur I					1,54	, ,	70,07
II		11,3		1,28			58,39
III			1,09				49,66

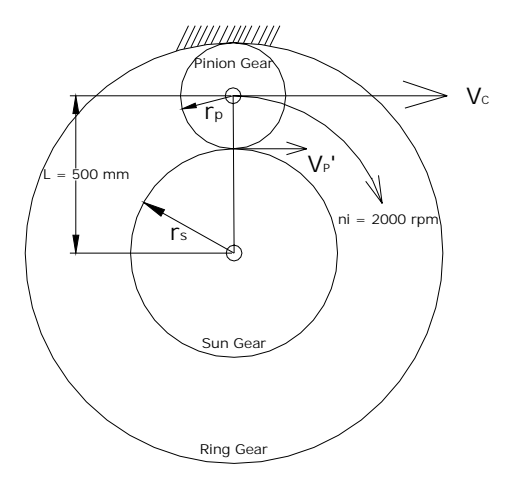
Tabel 4.5. Spesifik reduksi tiap tingkat kecepatan.

4.6. Perancangan kecepatan maju dan mundur.

4.6.1. Perancangan Gear I saat kecepatan maju (engage):

Perancangan kecepatan maju mundur untuk transmisi planetary ditetapkan pada Gear I *single pinion type* untuk maju dengan kondisi *engage* (fix) dan

mundur dengan kondisi *disengage*, begitu juga dengan Gear II *double pinion type* sebagai pembalik putaran mundur, dengan mengasumsikan semua diameter *ring*, *sun* dan *pinion gear* pada GI, GIV dan GV adalah sama. Dengan menggunakan grafis, didapat kecepatan dari *carrier* (V_C) yang juga sama dengan kecepatan *pinion gear* 2.



Gambar 4.5. Grafis gerakan gear I (b).

$$n_i = n_c = n_{P2} = 2000 \text{ rpm}$$

Kecepatan sementara dari carrier:

$$V_C' = \frac{2.\pi . L_C . n_C}{60000} = \frac{2.\pi . 500.2000}{60000} = 104,67$$
 m/s

Diketahui i = 12,7, dapat ditetapkan jari-jari *sun gear* dan *pinion gear* dengan menggunakan persamaan 4.25. berikut ini.

$$i_{GI} = \frac{n_C}{n_S} = \frac{r_S}{2.r_C}$$
(4.25.)

Untuk jari-jari *carrier* sebesar (r_C):

$$V_C \approx r_C \cdot n_C$$

 $104,67 \text{ m/s} \approx r_C \cdot 2000 \text{ rpm}$
 $r_C = \frac{104,67 \cdot 1000}{2000 \pi^2 2} = 8,33 \text{ mm}$

Untuk diameter pinion gear 2 (D_{P2}): 2 x d_c = 2 x 16,66 = 33,33 mm

$$V_{P2} = \frac{2.\pi . r_{P2} . n_C}{60000} = \frac{2.\pi . 16,66.2000}{60000} = 6,98$$
 m/s

Putaran sementara sun gear 3 didapat sebesar (n_{S3}):

$$12,7 = \frac{2000}{n_{s_3}}$$

$$n_{S3} = 157,48 \text{ rpm}$$

Diketahui jari-jari sun gear 3 (r_{S3}):

$$i_{\rm G\,I} = \frac{r_{\rm S}}{4.r_{\rm C}}$$

$$12,7 = \frac{r_{S}}{4.8,33}$$

$$r_{S3} = 12,7 .33,33 = 423,33 \text{ mm}$$

Putaran dan kecepatan sebenarnya dari sun gear 3 (n_{S3}):

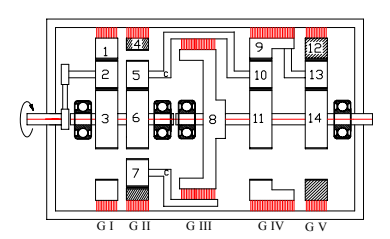
$$V_{S3} = V_{P2} = 6.98 \text{ m/s}$$

$$N_{S3} = \frac{V_{P2}}{2.\pi \cdot r_{S3}} = \frac{6.98 \frac{m}{s}}{2.\pi \cdot 0.4233 m} = 2.63 \text{ s} \times 60 \text{ s} = 157.48 \text{ rpm}$$

Diameter $ring\ gear\ 1$ sebesar (D_{R1}):

$$D_{R1} = (2.33,33) + (2.423,33) = 66,66 + 846,66 = 913,4 \text{ mm}$$

4.6.2. Perancangan Gear I saat kecepatan mundur (disengage):



Gambar 4.6. Tingkat kecepatan mundur.

Putaran ring gear 1 diketahui sebesar (N_{R1}):

$$N_{R1} = \frac{V_{P2}}{\pi \cdot r_{R1}} = \frac{6.98 \frac{m}{s}}{\pi \cdot 0.4566 m} = 2.63 \text{ s} \times 60 \text{ s} = 145.99 \text{ rpm}$$

Kecepatan sebenarnya *ring gear* 1 sebesar (V_{R1}) :

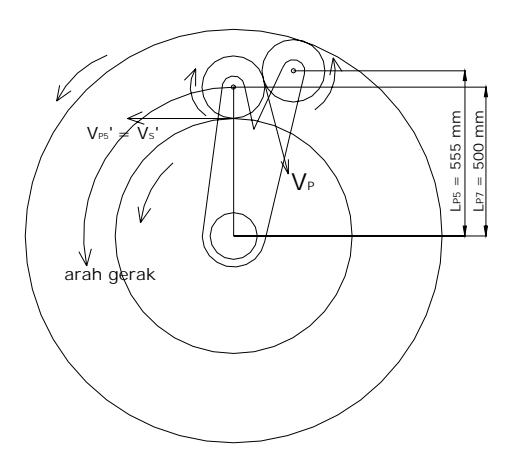
$$V_{\text{R1}} = \frac{2.\pi . r_{\text{R1}} . n_{\text{R1}}}{60000} = \frac{2.\pi . 456,67 . 145,99}{60000} = 6,98 \text{ m/s}$$

Didapat dimensi dari ring, sun, pinion dan carrier seperti berikut :

Gear	Jari-jari	Maju	Mundur
Gcai	(mm)	(n)	(n)
Ring	456,67	0 rpm	145,99 rpm
Sun	423,33	157,48 rpm	157,48 rpm
Pinion	33,33	2000 rpm	2000 rpm
Carrier	8,33	2000 rpm	2000 rpm

Tabel 4.6. Diameter dan putaran gear dari planetary GI.

4.6.3. Perancangan Gear II saat kecepatan maju (disengage).

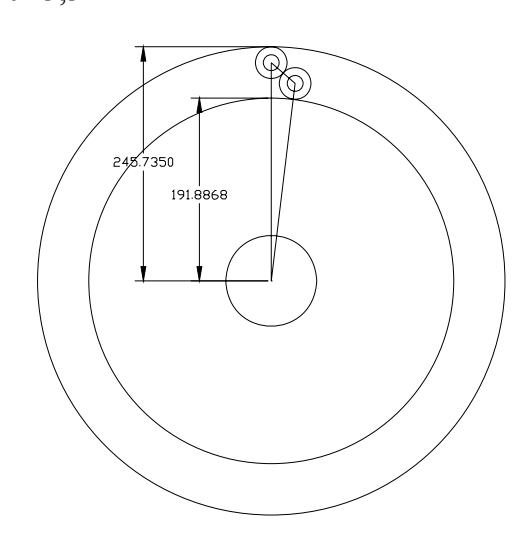


Gambar 4.7. Grafis gerakan gear II saat kecepatan maju.

G II merupakan sistim utama dari transmisi *planetary* untuk pembalik putaran saat transmisi kecepatan mundur. Telah diketahui input kecepatan *sun gear* 6, maka *pinion gear* yang diasumsikan perbandingan *pinion gear* 5 dan *pinion gear* 7 adalah 1. *Planetary whell loader* bisa juga dikatakan gabungan beberapa jenis *planetary* menjadi 1 bagian, maka diasumsikan semua *ring gear* memiliki diameter yang sama (D_{R4}) = 489,8 mm. maka untuk mendapatkan dimensi dari G II sudah didapat diameter *ring gear* 4. Untuk diameter *pinion gear* 5 dan 7 dengan *sun gear* 3, bisa didapat melalui Gambar 4.8. dibawah ini.

Diketahui:

$$i = 11,3$$
.
 $N_i = N_{S3} = N_{S6} = 157,48 \text{ rpm}$
 $D_{S3} = D_{S6} = 846,66 \text{ mm}$
 $D_{R1} = D_{R4} = 913,34 \text{ mm}$



Gambar 4.8. Perencanaan Planetary gear system double pinion type.

Diketahui putaran pinion gear 5 (N_{S5}):

$$i_{\rm G\,II} = \frac{N_{P5}}{N_S}$$

$$11,3 = \frac{N_{P5}}{157,48}$$

$$N_{P5} = 1749,524$$
 rpm

Dengan mengasumsikan bertingkat sejajar, maka jari-jari *pinion gear* 5 (r_{S5}):

$$i_{\rm G\,II} = \frac{r_{R4}}{2.r_{P}}$$

$$11,3 = \frac{456,67}{2.r_P}$$

$$2 \cdot r_{P} = \frac{456,67}{11,3}$$

$$r_P = \frac{40,41}{2} = 20,21 \text{ mm}$$

$$D_{P5} = D_{P7} = 2 \cdot 20,21 \text{ mm} = 40,41 \text{ mm}$$

Kecepatan dan putaran sebenarnya pinion gear 5:

$$V_{P5} = \frac{2.\pi . r_P . n_P}{60000} = \frac{2.\pi . 20,21 .1749,524}{60000} = 3,764 \text{ m/s}$$

Diameter *ring gear* 4 sudah ditetapkan agar seragam dengan planetary yang lain sebesar (D_{R4}) = 913,34 mm, dan juga diameter *sun gear* 6 (D_{S6}) G II dimensinya sama dengan dimensi *sun gear* 3 (D_{S3}) G I sebesar = 846,66 mm

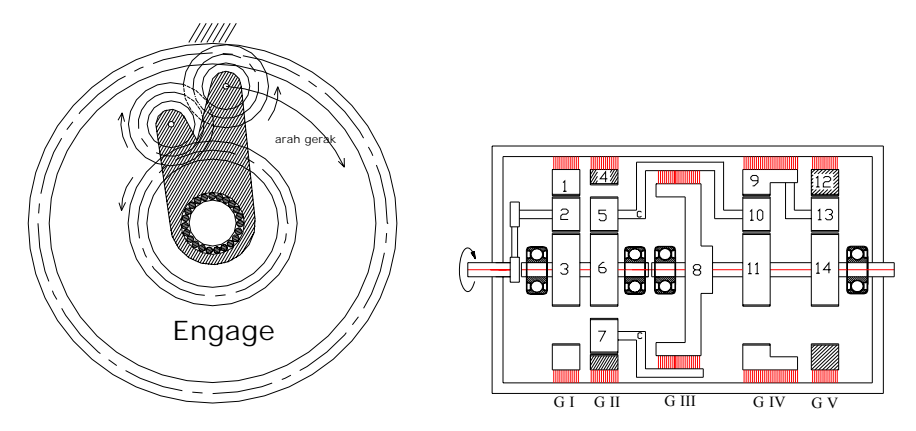
Kecepatan ring gear 4 sebesar (V_{R4}) :

$$V_{\text{R4}} = \frac{2.\pi . r_{\text{R4}} . n_{\text{P7}}}{60000} = \frac{2.\pi . 456,67 . 1749,524}{60000} = 83,62 \text{ m/s}$$

Putaran $ring\ gear\ 4\ sebesar\ (N_{R4})$:

$$N_{R4} = \frac{V_{R4}}{2.\pi.r_{R4}} = \frac{83,62 \frac{m}{s}}{2.\pi.0,456 m} = 29,2 \text{ s} \times 60 \text{ s} = 1752 \text{ rpm}$$

4.6.4. Perancangan Gear II saat kecepatan mundur (engage)



Gambar 4.9. Grafis gerakan gear II saat kecepatan mundur.

Diketahui dari awal perancangan dan dasar teori dari *double pinion type* untuk pembalik putaran saat gigi mundur. Maka dengan kecepatan *sun gear* dan *pinion gear* yang sama dengan kecepatan maju, terjadi perubahan arah gerak *pinion gear* ke arah yang berlawanan dengan arah gerak maju, untuk membedakannya tanda minus menampilkan gerak yang berlawanan.

Kecepatan dan putaran sebenarnya pinion gear 5:

$$N_{R4} = 0$$
 rpm, $N_{S6} = 157,48$ rpm, $N_{P5} = N_{P7} = -1749,524$ rpm.

$$V_{P5} = V_{P7} = 3,764 \text{ m/s}$$

$$V_{S6} = 6.98 \text{ m/s}$$

Didapat dimensi dari ring, sun, pinion dan carrier G II seperti berikut :

Gear	Jari-jari (mm)	Maju (n)	Mundur (n)
Ring 4	456,67	1752 rpm	0 rpm
Sun 6	423,33	157,48 rpm	157,48 rpm
Pinion 5 & 7	23,51	1749,52 rpm	-1749,52 rpm

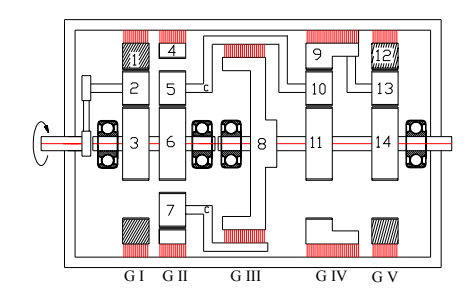
Table 4.7. Diameter dan putaran gear dari planetary G II.

4.7. Perancangan kecepatan tiap tingkat.

Setelah mendapatkan perhitungan maju dan mundur, kemudian perhitungan tiap tingkat kecepatan yang direncanakan dari awal dengan 6 tingkat

kecepatan dengan pembagian 3 tingkat kecepatan maju dan 3 tingkat kecepatan mundur, Berikut perhitungannya:

4.7.1. Perhitungan kecepatan maju tingkat I.



Gambar 4.10. Kecepatan maju tingkat I.

Ring Gear 1 dan Ring Gear 12 di engagekan. Karena ring gear pada G.I ditahan, maka planet pinion 2 menggelinding pada ring gear 1 sehingga putaran dan torsi dari pinion gear 2 diteruskan oleh sun gear 3 ke sun gear 6 G.II. yang diteruskan planet pinion 5 melalui carrier yang terhubung dengan planetari G.IV yaitu planet pinion 10 dan diteruskan kembali ke ring gear 9 sebagai keluaran G IV diteruskan kembali oleh pinion gear 13 untuk sun gear 14 sebagai output.

System putaran gear:

Telah diketahui sebelumnya:

Output GI : $N_{S3} = 157,48 \text{ rpm}$

Output GII : $N_{P5} = 1749,52 \text{ rpm}$

Input GIII yang merupakan output GII yaitu *pinion gear* 5 dan 7 dan diteruskan oleh *carrier* dengan perbandingan transmisi $i_{G\,III}=1,14$. Untuk mendapatkan kecepatan sebenarnya (V_{G8}), dicari terlebih dahulu jari-jari G8 dengan persamaan 4.25 seperti sebelumnya.

Maka putaran sebenarnya dari *Gear* III (N₈) sendiri sebesar :

$$i_{\text{GIII}} = \frac{n_{P5}}{n_8}$$

$$1,14 = \frac{1749,52}{n_8}$$

$$N_8 = \frac{13,94}{1.14} = 1534,7 \text{ rpm}$$

Kecepatan sebenarnya dari Gear 8:

$$V_8 = \frac{2.\pi . r_{P5} . n_8}{60000} = \frac{2.\pi . 33,33 .1534,7}{60000} = 5,35 \text{ m/s}$$

Dimensi dari jari-jari Gear 8 (r_8) yang menaikan putaran karena perbandingan i > 1

:

$$\frac{1534,7 \ rpm}{60} = \frac{5,35 .1000}{2.\pi.r_8}$$

$$25,528 = \frac{5350}{r_8}$$

$$r_8 = \frac{5250}{25,53} = 209,57 \text{ mm}$$

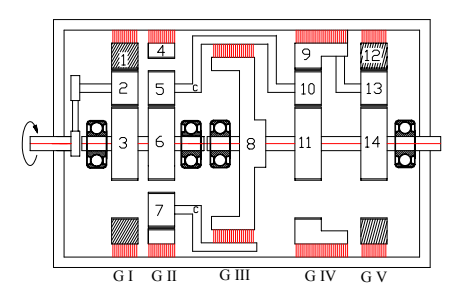
$$D_8 = 209,57 \cdot 4 = 838,3 \text{ mm}$$

Gear IV:

$$i_{\rm G\,IV} = 1.37$$

$$D_{R1} = D_{R9} = 913,34 \text{ mm}$$

$$n_{P5} = n_{P10} = 1749,52 \text{ rpm}$$



Dengan menggunakan persamaan 4.25 diketahui *output* G IV yaitu putaran *ring* $gear 9 (N_{R9})$:

$$i_{GIV} = \frac{n_{P10}}{n_{S11}} = \frac{r_{S11}}{2.r_C}$$

$$1,37 = \frac{1749,52}{n_{S11}}$$

$$N_{R9} = 1277 \text{ rpm}$$

Kecepatan *ring gear* 9 sebesar (V_{R9}) :

$$V_{\text{R9}} = \frac{2.\pi \cdot r_{\text{R9}} \cdot n_{\text{R9}}}{60000} = \frac{2.\pi \cdot 456,67 \cdot 1277}{60000} = 61,04 \text{ m/s}$$

Putaran sebenarnya dari ring gear 9 (n_{P9}):

$$N_{R9} = \frac{V_{R9}}{2.\pi . r_{R9}} = \frac{61,04 \frac{m/s}{s}}{2.\pi . 0,456 m} = 21,31 s \times 60 s = 1278,91 \text{ rpm}$$

Kecepatan sebenarnya dari pinion gear 10 (n_{P10}):

$$V_{P10} = \frac{2.\pi . r_{P10} . n_{P10}}{60000} = \frac{2.\pi . 16,66 . 1749,52}{60000} = 3,05 \text{ m/s}$$

Kecepatan sebenarnya dari sun gear 11 (n_{S11}):

$$V_{S11} = \frac{2.\pi . r_{S11} . n_{P10}}{60000} = \frac{2 . \pi . 423,33 . 1749,52}{60000} = 77,52 \text{ m/s}$$

Gear	r (mm)	n (rpm)	<i>v</i> (m/s)
Ring	456,67	1278,91	61,04
Sun	423,33	157,48	77,52
Pinion	16,66	1749,52	3,05

Table 4.8. Hasil dari perhitungan G IV.

Gear V:

$$i_{GV} = 1,51$$

 $N_{P10} = 1749,52$ rpm
 $V_{R9} = 61,04$ m/s

Kecepatan sebenarnya dari pinion gear $13 (n_{P13})$:

$$V_{P13} = V_{S14} = \frac{2.\pi.r_{P13}.n_{R9}}{60000} = \frac{2.\pi.16,66.1749,52}{60000} = 3,05 \text{ m/s}$$

Kecepatan sebenarnya dari *sun gear* 14 (n_{S14}) jika input dari pinion gear 13 (n_{P13}):

$$N_{S14} = \frac{V_{P13}}{2.\pi.r_{S14}} = \frac{3,05 \frac{m}{s}}{2.\pi.0,42333 m} = 1,15 s \times 60 s = 68,85 \text{ rpm}$$

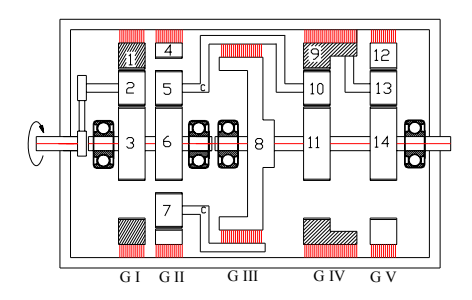
Perencanaan kecepatan maju tingkat I yang di *engage* adalah *ring gear* 1 (GI) dan *ring gear* 12 (GV), putaran dari *pinion gear* 5 di teruskan oleh *carrier* ke *pinion gear* 10 direduksi kembali oleh *ring gear* 9 yang langsung terhubung oleh *pinion gear* 13, sehingga kecepatan dan putaran yang dihasilkan *sun gear* 14 sebagai *output planetary* kecepatan maju tingkat I sebesar (V_{S14}) = 28,61, m/s.

Pinion	16,66	1749,52	3,05
Sun	423,33	201,9	8,94
Ring	456,67	0	0

Table 4.9. Hasil dari perhitungan GV.

4.7.2. Perhitungan kecepatan maju tingkat II:

Hasil perhitungan untuk kecepatan maju tingkat II ditampilkan dalam bentuk Tabel 4.10. dan Gambar 4.11. karena perhitungan diatas sudah dapat mewakili langkah-langkah perhitungan tingkat kecepatan berikutnya yang akan dibahas dan juga dimaksudkan untuk lebih mempersingkat perancangan planetary.



Gambar 4.11. Kecepatan maju tingkat II.

Ring Gear 1 dan Gear 9 di *engage*kan. Karena *ring gear* pada G.I ditahan, maka *planet pinion* 2 menggelinding pada *ring gear* 1 sehingga putaran dan torsi dari *pinion gear* 2 diteruskan oleh *sun gear* 3 ke *sun gear* 6 G.II. yang diteruskan *planet pinion* 5 melalui *carrier* yang terhubung dengan *planetari* G.IV yaitu *planet pinion* 10 karena *ring gear* 9 di *engage* sebagai keluaran G IV diteruskan oleh *sun gear* 13 sama dengan putaran *sun gear* 14 sebagai output.

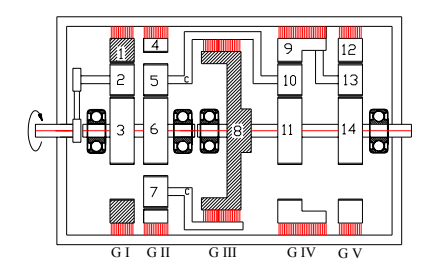
Gear I	rpm (n)	m/s (<i>v</i>)
Pinion gear 2	2000	3,48
Sun gear 3	157,2	3,48
Ring gear 1	0	0
Gear II		
Pinion gear 13	1414,22	3,48
Sun gear 14	157,2	3,48
Ring gear 12	1414,4	36,4
Gear III	(diabaikan)	
Gear 8	133,5	3,48
Gear IV	<u> </u>	
Pinion gear 13	1286,89	33,1
Sun gear 14	1414,22	2,466
Ring gear 12	0	0

Gear V		
Pinion gear 13	(diabaikan)	-
Sun gear 14	110,92	2,466
Ring gear 12	(diabaikan)	-

Tabel 4.10. Hasil perhitungan v dan n dari kecepatan maju tingkat II.

4.7.3. Perhitungan kecepatan maju tingkat III:

Hasil perhitungan untuk kecepatan maju tingkat III ditampilkan dalam bentuk Table 4.11. dan Gambar 4.12.



Gambar 4.12. Kecepatan maju tingkat III.

Ring Gear 1 dan Ring Gear 8 di engagekan. Karena ring gear pada planetari G.I ditahan, maka planet pinion 2 menggelinding pada ring gear 1 kondisi fix sehingga putaran dan torsi diteruskan oleh sun gear 3 ke sun gear 6 G.II. yang diteruskan planet pinion 5 melalui carrier ke planetari G.IV yang juga terhubung langsung dengan gear 8 dengan kondisi fix, maka putaran dan torsi diteruskan oleh gear 8 ke sun gear 11 hingga output planetary adalah sun gear 14. Putaran ini merupakan putaran output terbesar.

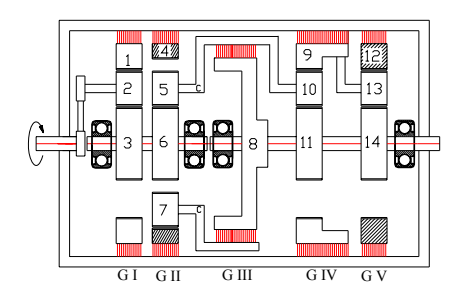
Gear I	m/s (v)	rpm (n)		
Pinion gear 2	2000	3,48		
Sun gear 3	157,2	3,48		
Ring gear 1	0	0		
Gear II				
Pinion gear 5 & 7	1414,22	3,48		
Sun gear 6	157,2	3,48		
Ring gear 4	1414,4	36,4		
Gear III				
Gear 8	0	0		
Gear IV				
Pinion gear 10	1414,22	3,48		
Sun gear 11	133	2,96		
Ring gear 9	135,3	3,48		

Gear V		
Pinion gear 13	135,3	0,24
Sun gear 14	133	2,96
Ring gear 12	Diabaikan	-

Tabel 4.11. Hasil perhitungan v dan n dari kecepatan maju tingkat III.

4.7.4. Perhitungan kecepatan mundur tingkat I:

Hasil perhitungan untuk kecepatan mundur tingkat I hanya ditampilkan dalam bentuk Table 4.12. dan Gambar 4.13. untuk lebih mempersingkat perancangan planetary.



Gambar 4.13. Kecepatan mundur tingkat I.

Gerak mekanis yang hampir sama dengan kecepatan maju I perbedaannya adalah ring gear 4 dan ring gear 12 di *engage*kan, sehingga diperoleh arah putaran berlawanan dengan input pada saat Gear II di *engage* maka *pinion* akan bergerak kearah sebaliknya dari putaran *sun gear* 6.

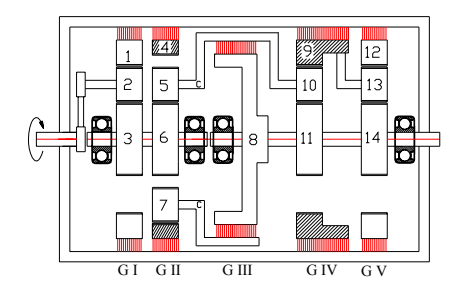
Gear I	m/s (<i>v</i>)	rpm (n)	
Pinion gear 2	2000	3,48	
Sun gear 3	157,2	3,48	
Ring gear 1	Diabaikan	-	
Gear II			
Pinion gear 5 & 7	-1414,22	3,48	
Sun gear 6	157,73	3,48	
Ring gear 4	0	0	
Gear III			
Gear 8	-133.53	3,48	
Gear IV			
Pinion gear 10	-1414,22	3,48	
Sun gear 11	-156,52	3,48	
Ring gear 9	-1414,22	36,37	
Gear V			
Pinion gear 13	-1414,22	2,466	

Sun gear 14	-110,92	2,466
Ring gear 12	0	0

Tabel 4.12. Hasil perhitungan v dan n dari kecepatan mundur tingkat I.

4.7.5. Perhitungan kecepatan mundur tingkat II:

Hasil perhitungan untuk kecepatan mundur tingkat II hanya ditampilkan dalam bentuk Table 4.13. dan Gambar 4.14.



Gambar 4.14. Kecepatan mundur tingkat II.

Gerak mekanis yang hampir sama dengan kecepatan maju II perbedaannya adalah *Ring Gear* 4 dan *Ring Gear* 9 di *engage*kan agar diperoleh putaran output yang berlawanan dengan putaran input.

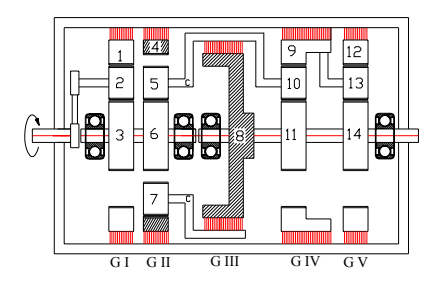
m/s (v)	rpm (n)		
2000	3,48		
157,2	3,48		
Diabaikan	-		
-1414,22	3,48		
157,73	3,48		
0	0		
-133.53	3,48		
Gear IV			
-1414,22	3,48		
-133,53	2,96		
0	0		
Gear V			
(diabaikan)	-		
-133,53	2,96		
	2000 157,2 Diabaikan -1414,22 157,73 0 -133.53 -1414,22 -133,53 0 (diabaikan)		

Ring gear 12	(diabaikan)	-
--------------	-------------	---

Tabel 4.13. Hasil perhitungan v dan n dari kecepatan mundur tingkat II.

4.7.6. Perhitungan kecepatan mundur tingkat III:

Hasil perhitungan untuk kecepatan mundur tingkat III hanya ditampilkan dalam bentuk Table 4.14. dan Gambar 4.15.



Gambar 4.15. Kecepatan mundur tingkat III.

Gerak mekanis yang hampir sama dengan kecepatan maju III perbedaannya adalah *Ring Gear* 4 dan *Gear* 8 di *engage*kan agar diperoleh arah putaran output yang berlawanan dengan putaran input.

Gear I	m/s (v)	rpm (n)	
Pinion gear 2	2000	3,48	
Sun gear 3	157,2	3,48	
Ring gear 1	Diabaikan	-	
Gear II			
Pinion gear 5 & 7	-1414,22	3,48	
Sun gear 6	157,73	3,48	
Ring gear 4	0	0	
Gear III			
Gear 8	0	0	
Gear IV			
Pinion gear 10	-1414,22	3,48	
Sun gear 11	-132,994	3,48	
Ring gear 9	-1414,22	36,37	
Gear V			
Pinion gear 13	-1414,22	2,466	
Sun gear 14	-132,994	3,48	
Ring gear 12	Diabaikan	-	

Tabel 4.14. Hasil perhitungan v dan n dari kecepatan mundur tingkat III.

Maka dapat dibuat table hasil perhitungan transmisi *planetary gear set* yang dimana awal perencanaan dengan kecepatan dilampirkan seperti table Tabel 4.3. Kecepatan yang direncanakan kondisi beban total sebelumnya namun **kecepatan saat loader berjalan**, yaitu :

PERFORMANCE	Travel speeds	
	1st	0 – 2,244 m/s
Maju	2nd	0 – 2,466 m/s
,	3rd	0 – 2,96 m/s
	1st	0 – 2,466 m/s
Mundur	2nd	0 – 2,96 m/s
	3rd	0 - 3,48 m/s

Tabel 4.3. Kecepatan yang direncanakan kondisi beban total.

PERFORMANCE	Travel speeds	
	1st	0 – 2,244 m/s
Maju	2nd	0 – 2,466 m/s
,	3rd	0 – 2,96 m/s
	1st	0 – 2,466 m/s
Mundur	2nd	0 - 2,96 m/s
	3rd	0 - 3,48 m/s

Tabel 4.15. Kecepatan hasil perhitungan dari system planetary.

Dan dilihat dari Tabel 4.15. Kecepatan hasil perhitungan dari system planetary dengan kondisi beban total yang sama, namun kecepatan output dari *planetary gear set* bukan *output* saat *louder* berjalan.

BAB V PENUTUP

5.1. Kesimpulan.

Pada perancangan penggerak utama loader untuk tanah liat dengan kapasitas bucket 5 m³ ini dibatasi sampai dengan perancangan planetary, dan dapat diambil kesimpulan :

A. Untuk beban loader

Kapasitas bucket $= 5 \text{ m}^3$

Daya mengatasi beban dan hambatan (Ne) = 595 HP

Daya untuk perlengkapan hidrolis (N_p) = 17 HP

Maka dipilih engine minimal, seperti spesifikasi sebagai berikut ini :

	KOMATSU SAA6D170E
mm (in)	6-170 x 170 (6.7 x 6.7)
ltr. (cu.in)	23.15 (1,412)
kg(lb)	
	641(478)/2000
HP(kW)/rpm	650(478)/2000
_	
	ltr. (cu.in) kg(lb)

Momen puntir dari engine (T_m) = 232786 Kg.mm

Diameter poros engine (d_s) = 59,104 mm

B. Damper

Jenis kopling karet ban

Diameter luar (D) 60 mm

C. Kecepatan

Diameter ban = 1651 mm

Tenaga traksi maxmimal yang difungsikan transmisi :

Kecepatan	Gaya Traksi Maximal (kg)	Tenaga yang difungsikan (kg)
Maju / Mundur	Tingkat I	11340 kg
	Tingkat II (60%)	6804 kg
	Tingkat III (25%)	2835 kg

Perbandingan tiap tingkat kecepatan:

Tingkat	Kecepatan	n _{roda} (rpm)	$i_{ m T}$	$i_{ m F1}$
Maju	I	25,98	76,98	19,19
	II	28,54	70,07	17,47
	III	34,25	58,39	14,56
Mundur	I	28,54	70,07	17,47
	II	34,25	58,39	14,56
	III	40,27	49,66	12,38

Spesifik reduksi tiap tingkat kecepatan:

	G_{I}	G_{II}	G _{III}	G _{IV}	G_{V}	$\mathbf{i_g}$	\mathbf{i}_{T}
Maju I					1,51		76,98
II	12,7			1,37			70,07
III			1,14			4,01	58,39
Mundur I					1,54	, -	70,07
II		11,3		1,28			58,39
III			1,09				49,66

Kecepatan yang didapat dari perhitungan *planetary gear set* dengan kondisi beban total :

PERFORMANCE	Travel speeds	
	1st	0 – 2,244 m/s
Maju	2nd	0 – 2,466 m/s
	3rd	0 – 2,96 m/s
	1st	0 – 2,466 m/s
Mundur	2nd	0 – 2,96 m/s
	3rd	0 – 3,48 m/s

5.2. Saran

Kurangnya kemampuan dan wawasan penulis, sehingga membatasi kesempurnaan dari perancangan penggerak utama loader beroda untuk tanah liat dengan kapasitas bucket 5 m³ ini, didapat kendala-kendala yang harus dialami penulis dalam menyusun naskah dan juga penelusuran data-data sebagai penunjang dan reverensi rancangan ini. Beberapa kendala diantaranya adalah saran untuk kalangan sendiri sebatas Program study Teknk Mesin Universitas Sanata Dharma dan para pembaca umum sebagai kalangan civitas akademika, adalah:

- a) Terbatasnya buku-buku tentang pembahasan peralatan berat.
- b) Perkuliahan yang kurang membahas masalah komponen peralatan berat.
- c) Perancangan *planetary gear set* yang memang berbeda dari transmisi yang biasa di jumpai di pasaran umum.

Sekiranya penulis mengharapkan para pembaca, untuk lebih mengkritisi hasil tulisan ini yang memang jauh dari kata sempurna.

DAFTAR PUSTAKA

- Indonesianto, Y., 2001, Diktat I *Pemindahan Tanah Mekanis*, Universitas Pembangunan Nasional "Veteran", Yogyakarta.
- Mitchell, L.D., 1994, Perencanaan Teknik Mesin, edisi ke 4, Jilid 2, Erlangga.
- Mahardika, P., Penggerak Utama Loader, Universitas Sanata Dharma.
- Niemann, G., 1994, Elemen Mesin, Jilid 1, edisi ke 2, Erlangga.
- Peurifoy, R.L., dan Ledbetter, W.B., 1985, *Construction Planning Equipment & Methods*, fourth edition, McGraw-Hill Book Company,
- Rochmanhadi, 1992, Alat-alat Berat dan Penggunaannya, Departemen Pekerjaan Umum.
- Stolk, J., dan Kros, C., 1993, *Elemen Konstruksi Bangunan Mesin*, Edisi 22, penerbit ERLANGGA, Jakarta Pusat.
- Sularso, Kiyokatsu, S., 1997, *Dasar Pemilihan dan Perencanaan Elemen Mesin*, cetakan ke 9, P.T.Pradnya Paramita, Jakarta.
- Suprianto, I., *Perancangan Swamp Dozer*, Universitas Sanata Dharma.
- Sudibyo, B., *Roda Gigi*, Diklat Akademi Teknik Mesin Industri ST.Mikail, bagian ke 2, ATMI Press, Surakarta.
- Wigroho, H.Y., dan Suryadharma, H., *Pemindahan Tanah Mekanis*, Universitas Atma Jaya Yogyakarta.
- WWW.Komatsu.com, Whell Loaders, section 4A. download 3 Juli 2001.

Tabel 1.1. Tabel Faktor Rolling Ressistance.

Tipe dan keadaan landasan	C	RR	
Tipe dan keadaan landasan	Roda Besi	Roda Ban	
Rel besi	0,01	-	
Beton	0,02	0,02	
Jalan, macadam	0,03	0,03	
Perkerasan kayu	0,03	-	
Jalan datar, tanpa pengerasan,			
kering.	0,05	0,04	
Landasan tanah keras	0,10	0,04	
Landasan tanah gembur.	0,12	0,05	
Landasan tanah lunak.	0,16	0,09	
Kerikil, tidak dipadatkan	0,15	0,12	
Pasir, tidak dipadatkan	0,15	0,12	
Tanah basah, lumpur	-	0,16	

(Rochmanhadi, alat-alat berat dan penggunaannya, 1982, hal 8)

Tabel 1.2.Tabel koefisin traksi untuk berbagai macam jenis roda dan jenis permukaan tanah.

	Jenis Roda			
Tipe dan keadaan tanah	Roda ban	Track	Crawler	
Lempung, liat kering, tanah kering, jalan datar tanpa				
pengerasan, kering.	0,55	0.70	0,90	
Lempung liat basah, lempung liat becek, tanah				
pertanian basah.	0,45	0,55	0,70	
Tempat pengambilan batu.	0,65	0,45	0,55	
Pasir basah.	0,40	0,45	0,50	
Jalan kerikil, gembur.	0,36	0,40	0,50	
Pasir kering, gembur.	0,20	-	0,30	
Tanah basah, berlumpur.	0,20	-	0,25	

Tabel 1.3. Tabel Tenaga Tarik atau DBP.

PERFORMANCE:	km/h (MPH)
Travel speeds:	
Forward	
1st	6.4 (4.0)
2nd	11.1 (6.9)
3rd	18.7 (11.6)
4th	30.0(18.6)
Reverse	
1st	7.1 (4.4)
2nd	12.3 (7.6)
3rd	20.5 (12.7)
4th	32.3 (20.1)

Sumber www.Komatsu .com hal 4a-8.

Tabel 2.1. Tabel Load factor, prosentase sweel dan massa jenis material.

Material	Lb/BCY	(%) Sweel	Lb/LCY	Load factor (%)
Lempung, tanah liat asli	3400	22	2800	82
Kering untuk digali	3100	23	2500	81
Basah untuk digali	3500	25	2800	80
Lempung & kerikil:				
Kering	2800	41	2000	71
Basah	3100	11	2800	80

Sumber: Ir.Rochmanhadi, Alat-alat berat dan penggunaannya, Semarang 1992.Hal 7

Tabel 2.2. Tabel Kemampuan whell loader menurut Komatsu.

Madal	Kapasitas	Static Tipp	ing Load (kg)	Kecepatan (km/jam)		
Model	Bucket (m ³)	Lurus	Membelok	Peres	Mundur	
W.20	0,60	2.400	2.150	7,5-25	5 – 10	
W.30	0,80	2.940	2.635	7,5-25	5 – 10	
W.40	1,20	4.350	3.800	7,2 - 34.5	7,2-35	
W.60	1,40	5.170	4.240	7,6 - 38,1	7,6 - 38,3	
W.70	1,70	6.690	6.080	7,1 - 34,5	7,1-34,5	
W.90	2,30	9.670	8.700	7,5 - 30,4	8,0 - 32,3	
W.120	3,30	13.150	11.840	7,1 - 30	7,5-32,3	
W.170	3,50	14.300	12.900	7 - 40	7 - 40	
W.260	5,70	27.200	24.450	7,2-32,6	7,2-32,6	

Tabel 2.3. Tabel Factor Pengisian Bucket Komatsu.

	Kondisi Muatan	Faktor
MUDAH	Gali dan muat material dari stockpile, atau material yang sudah di gusur dengan alat lain, sehingga tidak diperlukan tenaga menggali yang besar dan bucket dapat penuh Misalnya: tanah pasir, tanah gembur.	0,8 – 1,0
SEDANG	Gali dan mujat dari stockpile yang memerlukan tekanan yang cukup, kapasitas bucket kurang dapat munjung. Misalnya: pasir kering, tanag lempung lunak, kerikil.	0,6 - 0,8
AGAK SULIT	Sulit untuk mengisi bucket pada jenis material yang digali. Misalnya: batu-batuan, lempung keras, kerikil berpasir, tanah berpasir, Lumpur.	0,5 – 0,6
SULIT	Menggali pada batu-batuan yang tidak beraturan bentuknya yang sulit diambil dengan bucket. Misalnya: batu pecah dengan gradasi jelek.	0,4 - 0,5

(Sumber: Pemindahan tanah mekanis, Haryanto Yoso Wigroho, hal 82).

Tabel 2.4. Tabel Faktor koreksi keadaan medan dan keadaan manajemen.

		Keadaan Ma	najemen			
Keadaan Medan	Sangat baik	Baik	Sedang	Kurang		
Sangat Baik	0,84	0,81	0,76	0,70		
Baik	0,78	0,75	0,71	0,65		
Sedang	0,72	0,69	0,65	0,60		
Kurang	0,63	0,61	0,57	0,52		

Tabel 2.5. Tabel Bucket factor (K).

Bucket factor (K)

Loading conditions	K
Easy loading	1.0 ~ 1.1
Average loading	0.85 ~ 0.95
Rather difficult loading	0.8 ~ 0.85
Difficult loading	0.75 ~ 0.8

Tabel 2.6. Tabel Job efficiency (E).

Job efficiency(E)					
Operating conditions E					
Good	0.83				
Average	0.75				
Rather poor	0.67				
Poor	0.58				

Tabel 2.7. Tabel kelandaian dalam % dari tiap derajatnya : Grade resistance (%) converted from angle (*) of gradient

Angle	% (sin α)	Angle	% (sin α)	Angle	% (sin α)
1	1.8	11	19.0	21	35.8
2	3.5	12	20.8	22	37.5
3	5.2	13	22.5	23	39.1
4	7.0	14	24.2	24	40.2
5	8.7	15	25.9	25	42.3
6	10.5	16	27.6	26	43.8
7	12.2	17	29.2	27	45.4
8	13.9	18	30.9	28	47.0
9	15.6	19	32.6	29	48.5
10	17.4	20	34.2	30	50.0

Tabel 2.8. Tabel Diameter poros.

		1				1
4	10	*22.4	40	100	*224	400
		24		(105)	240	
	11	25	42	110	250	420
					260	440
4.5	*11.2	28	45	*112	280	450
	12	30		120	300	460
		*31.5	48		*315	480
5	*12.5	32	50	125	320	500
				130	340	530
		35	55			
*5.6	14	*35.5	56	140	*355	560
	(15)			150	360	
6	16	38	60	160	380	600
	(17)			170		
*6.3	18		63	180		630
	19			190		
	20			200		
	22		65	220		
7			70			
*7.1			71			
'			75			
8			80			
			85			
9			90			
			95			

Keterangan:

Tanda * menyatakan bilangan yang bersangkutan dipilih dari bilangan standar. Bilangan di dalam kurung hanya dipakai untuk bagian di mana akan dipasang bantalan gelinding.

(Sularso, "Dasar Perencanaan dan Pemilihan Elemen Mesin", hal.9)

Tabel Dimensi dan kapasitas Kopling Karet Ban.

No.		Ukuran	koping				Best		Flous						
atau Diameter hear	(.pag	spilen	Diaj	epitan	Leber	Dia. Imati	Juneleh besit	Dis. x jarak lagi	Dia. Igar	Dia.	Dia. pares	Lobur total	Menca nomal malyimen	Momen procek	Keepeta mikuous
A	4	S ₁	4	d ₂	С	8	8	dxp	E	F	maks.	F	(Ag.m.)	(kg.m)	(rpm)
160	2923	1254	82	64	37	50	2 x 6	6×i#	84	12	18	93	4	- 10	9000
128	228	1884	99	13	39	65	2 x 6	B x 1,25	頭	40	22	ftt		20	4500
140	1326	2713	116	畅	45	75	2 x 6	10 × 1,5	112	45	25	125	15.	30	4200
160	4041	29%	128	106	Я	85	2× 6	_10 x 1,5	125	9	28	M	17	42	400t
185	5947	348	146	122	35	100	2 x 6	12 x 1,75	140	64	x	158	20	59	3500
230	Siki	4000	166	138	67	112	2x 6	12 x 1,75	162	30	6	179	29	72	3280
265	10287	6130	200	164	82	140	2x 6	12 x 1,75	195		56	224	· 5	99	2000
340	20012	12045	267	214	186	180	2× 6	16 x 2,6	254	125	71	266	· 2 2	205	2500
445	4410	17002	356	m	.139	236	2× 6	18 x 2,5	332	쏆	99	363	160	400	1600
550	43633	26376	422	330	173	291	Zx 8	24 x 3,9	40	232	159	ĘŢ)	500	1250	1200
700	72044	4326	526	439	228	370	2 x 12	24 × 3,0	560	310	200	фı	1900	2500	1000

(Sularso, "Dasar Perencanaan dan Pemilihan Elemen Mesin", hal.39)

Tabel Harga copel (c) menurut Flender.

	Koefisien-eksperimen c untuk kopling-gesek, menurut	Flend	ler	
ma	arga di bawah ini untuk c berlaku untuk pemakaian selama 8 jam tida pemakaian 2 jam/hari, lebih dari 8 jam/hari dan lebih dari 16 ja rus dikalikan rnasing-masing dengan 0,9, 1,06 dan 1,12.	ip hari. m/hari	Untuk , harga	la- ini
	MESIN PENGGERAK			-
Mo	otor-bakar 1 3 sil. derajat-ketakberaturan 1 : 80 sampai 1 : 100			
	rbin-air, mot or-bakar dengan 4 6 sil, derajat-ketakberaturan	-		
Мо	otor-listfik darı turbin-uap			
	MESIN YANG DIGERAKKAN			
	dengan massa sangat ringan yang hendak dipercepat: generator pe nerangan, pompa sentrifugal, ventilator;	1,5	1,85	2,25
. 1	dengan massa kecil yang hendak dipercepat: elevator, vemtilator, kompresor-turbo, mesin-pengolah kayu ringan, mesin perkalkas ringan, mesin tekstil ringan, mesin pelengkung plat, ban kompveyor;	1,75	2,1	2,5
F	dengan massa yang sedang besarnya dan yang hendak di- percepat: mesin pintaal cincin, penggerak-gelondong, mesin gerinda, wins, perangkat-acluk, lift barang.	2,0	2.45	2,95
d. d	dengan mæssa yang sedang besarnya dan yang hendak di- percepat serta dengan beban-tumbuk:	•	, -	_,,
n ti	nesin kard (wol), perkakas tenun, mesin pintal halus (bagal), senrifugal, messin aduk beton, lift orang, mesin penebah, mesin ketam ogam, palu tumbuk, silinder pengering.	2,25	2,7	3,2
	lengan turmbukan kuat dan massa besar yang hendak di- percepat:		•	
p	compa toralla, instalasi keran, mesin pres, gunting, mesin pengkilap, alu, penggiilingan dengan dua buah batu-giling vertikal, mesin pelarik kawat	2,75	3,2	3,7
	lengan tuur nbukan sangat kuat dan massa besar yang hen- lak diperczeepat:		•	,
n d	nesin gilas karet, kompresor torak dan pompa torak tanpa roda- aya, mesina gilas, generator las, pemecah batu.	3,75	4,3	4,8

Sumber : Ir.J.Stolk dan Ir.C.Kros, Elemen konstruksi bangunan mesin, penerbit ERLANGGA Jakarta Pusat, Edisi 22 1993, hal 209.

Tabel. Faktor koreksi (f_c) .

	Macam penggerak mula		Variasi momen p	ountir
	1 66	Kecil	Sedang	Besar
W	atak sisi	Motor listrik turbin uap	Motor diesel dengan 6 silinder atau lebih. Motor bensin dengan 4 silinder atau lebih.	Motor diesel dengan 6 silinder atau kurang. Motor bensin dengan 4 silinder atau kurang.
I	Momen awal : kecil Variasi momen : kecil Kejutan : ringan Putaran balik : tidak ada	1 – 1,5	1,5 – 2	2-3
II	Momen awal : sedang Variasi momen : sedang Kejutan : sedang Putaran balik : tidak ada	1,5 – 2	2-2,5	2,5 – 4
II	Momen awal : besar Variasi momen : besar Kejutan : besar Putaran balik : banyak	2 – 2,5	2,5 – 3,5	3,5 – 5

Pemakaian praktek	f_{s}	Pemakaian praktek	f_{s}
Motor listrik – pompa minyak	1,0	Motor torak – roda gigi reduksi	
		(4 silinder)	2,5
Motor listrik – roda gigi reduksi	2,0	Motor torak – pompa minyak	
		(4 silinder)	2,5
Motor listrik – kompresor	3,0	Motor torak – generator	
1		(6 silinder)	3,5

(Sumber Sularso, Dasar Perencanaan dan Pemilihan Elemen Mesin, hal 38.)

Tabel bahan koefisien gesek kopling menurut Flender.

Koefisien-gesek f dan tekanan bidang yang diperbolehkan $\overset{-*}{\sigma_0}$								
	Koefisien	-gesek f	Tekanan	Temp.yang diperbolehkan °C				
bahan	Kering Dilumas dengan minyak		$\begin{array}{c} bidang \\ \sigma_o \ N/mm^2 \end{array}$	Terus- menerus	Waktu singkat			
Besi-cor abu-abu, baja-cor atau baja pada:		-						
Pelbagai bahan buatan Tenunan-kapas dengan damar-	0,250,45	0,10,25	0,050,7	100	150			
buatan	0,40,65	0,10,2	0,051,2	100	150			
Tenunan-asbes dengan								
damar-buatan	0,30,5	0,10,2	0,052	200	300			
idem, dipres hydraulic	0,20,35	0,10,15	0,058	250	500			
Kayu-poplar	0,20,35	0,10,15	0,050,5	100	160			
Kulit	0,30,6	0,120,15	0,050,3	10	0			
Gabus	0,30,5	0,150,25	0,050,1	10	0			
Besi-cor abu-abu pada								
Baja	0,150,2	0,030,06	0,81,4	26	0			
Besi-cor abu-abu pada Besi-								
cor abu-abu	0,150,25	0,020,1	11,8	300				
Baja-keras pada baja-keras	Dalam keadaan	Ketika						
atau pada logam lebur	diam	meluncur						
Dibasahi dengan minyak	0,120,17	0,060,11	0,53	10	0			
Idem, dengan minyak yang								
mengalir	0,080,12	0,030,06	0,54	10	0			

Sumber : Ir.J.Stolk dan Ir.C.Kros, Elemen konstruksi bangunan mesin, penerbit ERLANGGA Jakarta Pusat, Edisi 22 1993, hal 209.

Tabel Momen Inersia Kopling Karet Ban.

1	Konstanta pegas	Momen inersia (kg-cm²)			
No. Kopling	puntir kopling (kg-cm/rad)	Badan kopling	Logam pemasang		
No.100	4,25 × 10 ³	0,0035	0,0086		
No.120	7.91×10^3	0,0079	0,020		
No.140	$2,02 \times 10^4$	0,016	0,640		
No.160	1,77 × 104	0,030	0,074		
No.185	2.94×10^4	0,049	0,130		
No.210	3,91 × 104	0,087	9,23		
No.265	6,07 × 10 ⁴	0,38	0,83		
No.349	1.88×10^{5}	1,97	3,1		
No.445	$5,10 \times 10^{5}$	3,4	10,1		
No.550	1.00×10^6	7,5	29		
No.700	1,80 × 10 ⁶	17	84		

Sumber: Sularso, "Dasar Perencanaan dan Pemilihan Elemen Mesin", hal.40.

Tabel Baja paduan untuk poros.

Standar dan macam	Lambamg	Perlakuan panas	Kekuatan taril (kg/mm²)
	SNC 2	- -	85
Baja khrom nikel	SNC 3	_]	95
(JIS G 4102)	SNC21	Pengerasan kulit	80
,	SNC22	,,	100
• •	SNCM 1	_	85
	SNCM 2	_	95
Baja khrom nikel molibden	SNCM 7	~ -	100
(ЛS G 4103)	SNCM 8	· -	105
· And with the	SNCM22	Pengerasan kulit	90
1	SNCM23	. "	100
en e	SNCM25	"	120
	SCr 3		90
m 1. 11	SCr 4	-	95
Baja khrom	SCr 5	-	100
(JIS G 4104)	SCr21	Pengerasan kulit	80
	SCr22	"	85
	SCM 2		85
	SCM 3	_	95
Data takanan matik dali si	SCM 4		100
Baja khrom molibden	SCM 5	-	105
(JIS G 4105)	SCM21	Pengerasan kulit	85
	SCM22	"	95
	SCM23	"	100

Sumber: Sularso, "Dasar Perencanaan dan Pemilihan Elemen Mesin", hal.3.

Tabel Standart baja.

Nama	Standar Jepang (JIS)	Standar Amerika (AISI), Inggris (BS), dan Jerman (DIN)
	S25C	AISI 1025, BS060A25
	S30C	AISI 1030, BS060A30
Dain bankan bana	S35C	AISI 1035, BS060A35, DIN C35
Baja karbon kons- truksi mesin	S40C	AISI 1040, BS060A40
truksi mesin	S45C	AISI 1045, BS060A45, DIN C45, CK45
	S50C	AISI 1050, BS060A50, DIN St 50.11
	S55C	AISI 1055, BS060A55
Baja tempa	SF 40,45 50,55	ASTM A105-73
D : :1.1.1	SNC	BS 653M31
Baja nikel khrom	SNC22	BS En36
	SNCM 1	AISI 4337
	SNCM 2	BS830M31
Baja nikel khrom	SNCM 7	AISI 8645, BS En100D
molibden	SNCM 8	AISI 4340, BS817M40, 816M40
monoden	SNCM22	AISI 4315
	SNCM23	AISI 4320, BS En325
	SNCM25	BS En39B
	SCr 3	AISI 5135, BS530A36
	SCr 4	AISI 5140, BS530A40
Baja khrom	SCr 5	AISI 5145
	SCr21	AISI 5115
	SCr22	AISI 5120
	SCM2	AISI 4130, DIN 34CrMo4
Paia khram	SCM3	AISI 4135, BS708A37, DIN34CrMo4
Baja khrom molibden	SCM4	AISI 4140, BS708M40, DIN42CrMo4
monoden	SCM5	AISI 4145, DIN50CrMo4

Sumber : Sularso, "Dasar Perencanaan dan Pemilihan Elemen Mesin", hal.5.

Tabel massa jenis sifat fisis baja.

Jenis Baja	$\rho.\left(\times 10^{3} \frac{kg}{m^{3}}\right)$	$C_{p}\left(\frac{kJ}{kg.°C}\right)$	$k, \left(\begin{array}{c} W/m \cdot c \end{array} \right)$	$\alpha \times 10^{\frac{m^2}{s}}$
Baja karbon				
$C \approx 0.5 \%$	7,833	0,465	54	1,474
≈ 1,0 %	7,801	0,473	43	1,172
≈ 1,5 %	7,753	0,486	36	0,970
Baja nikel				
Ni $\approx 0 \%$	7,897	0,452	73	2,026
≈ 20 %	7,933	0,460	19	0,526
≈ 40 %	8,169	0,460	10	0,279
≈ 80 %	8,618	0,460	35	0,872
Baja krom				
$Cr \approx 0\%$	7,897	0,452	73	2,026
≈ 1%	7,865	0,460	61	1,665
≈ 5%	7,833	0,460	40	1,110
≈ 20%	7,689	0,460	22	0,635

Sumber : J.P.Holman, Ir.E.Jasjfi M.Sc, Perpindahan Panas, Edisi keenam, Erlangga Jakarta, Indonesia, Hal 581.

Tabel Harga faktor keamanan

Faktor keamanan	Harga (Sfk)	Keterangan
Sf_{k1}	6	Beban dikenakan secara berlahan – lahan
	1 – 1,5	Beban dikenakan secara berlahan – lahan
Sf_{k2}	1,5 – 3	Beban dikenakan dengan tumbukan ringan
	2-5	Beban dikenakan secara kejut dengan tumbukan berat

Sumber : Sularso, Dasar perencanaan dan pemilihan elemen mesin, Jakarta,, 1997 : 25

Tabel ukuran baut standart JIS Ukuran standart ulir kasar metris (JIS B 0205)

					Ulir dalam			
	Ulir				Diameter	Diameter	Diameter	
	OIII		Jarak	Tinggi	luar (D)	efektif	dalam	
			bagi	kaitan	Tual (D)	(D_2)	(D_1)	
			(P)	(H ₁)		Ulir luar		
1	2	3	(1)	(11])	Diameter	Diameter	Diameter	
1	2	,			luar (d)	efektif	dalam	
					iuai (u)	(d_2)	(d_1)	
M 6			1	0,541	6,000	5,350	4,917	
		M 7	1	0,541	7,000	6,350	5,917	
M 8			1,25	0,677	8,000	7,188	6,647	
		M 9	1,25	0,677	9,000	8,188	7,647	
M 10			1,5	0,812	10,000	9,026	8,376	
		M 11	1,5	0,812	11,000	10,026	9,376	
M 12			1,75	0,947	12,000	10,863	10,106	
	M 14		2	1,083	14,000	12,701	11,835	
M 16			2	1,083	16,000	14,701	13,835	
	M18		2,5	1,353	18,000	16,376	15,294	
M 20			2,5	1,353	20,000	18,376	17,294	
	M 22		2,5	1,353	22,000	20,376	19,294	
M 24			3	1,624	24,000	22,051	20,752	
	M 27		3	1,624	27,000	25,051	23,752	
M 30			3,5	1,894	30,000	27,727	26,211	
	M 33		3,5	1,894	33,000	30,727	29,211	
M 36			4	2,165	36,000	34,402	31,670	
	M 39		4	2,165	39,000	36,402	34,670	
M 42			4,5	2,436	42,000	39,077	37,129	
	M 45		4,5	2,436	45,000	42,077	40,129	
M 48			5	2,706	48,000	44,752	42,587	
	M 52		5	2,706	52,000	48,752	46,587	
M 56			5,5	2,977	56,000	52,428	50,046	
	M 60		5,5	2,977	60,000	56,428	54,046	
M 64			6	3,248	64,000	60,103	57,505	
	M 68	1	6	3,248	68,000	64,103	61,505	

Catatan: kolom 1 merupakan pilihan utama. Kolom 2 atau kolom 3 hanya dipilih jika terpaksa.

Tabel Bahan untuk flens dan baut kopling.

칊	Tipe standar	Lambang	Perlakuan panas	Kekuatan tarik (kg/mm²)	Keterangan
	Besi cor kelabu (JIS G 5501)	FC20 FC25 FC30 FC35	Pelunakan temperatur rendah " " " "	20. 25 30 35	•
Flens	Baja karbon cor (JIS G 5101)	SC37 SC42 SC46 SC49	Pelunakan " " "	37 42 46 49	Penormalan. Kadang-kadang setelah penor- malan dilanjut- kan dengan ditemper.
	Baja karbon tempa (JIS G 3201)	SF50 SF55 SF60	Pelunakan "	50-60 55-65 60-70	Perlakuan panas yang lain juga dilakukan.
ur	Baja karbon untuk konstruksi mesin (JIS G 3102)	\$20C \$35C \$40C \$45C	- - - -	40 50 60 70	
Baut dan mur	Baja karbon untuk konstruksi biasa (JIS G 3101)	SS41B SS50B	-	40 50	
	Baja batang difinis dingin (JIS G 3123)	S20C-D S35C-D		50 60	

Sumber : Sularso, "Dasar Perencanaan dan Pemilihan Elemen Mesin", hal.33.

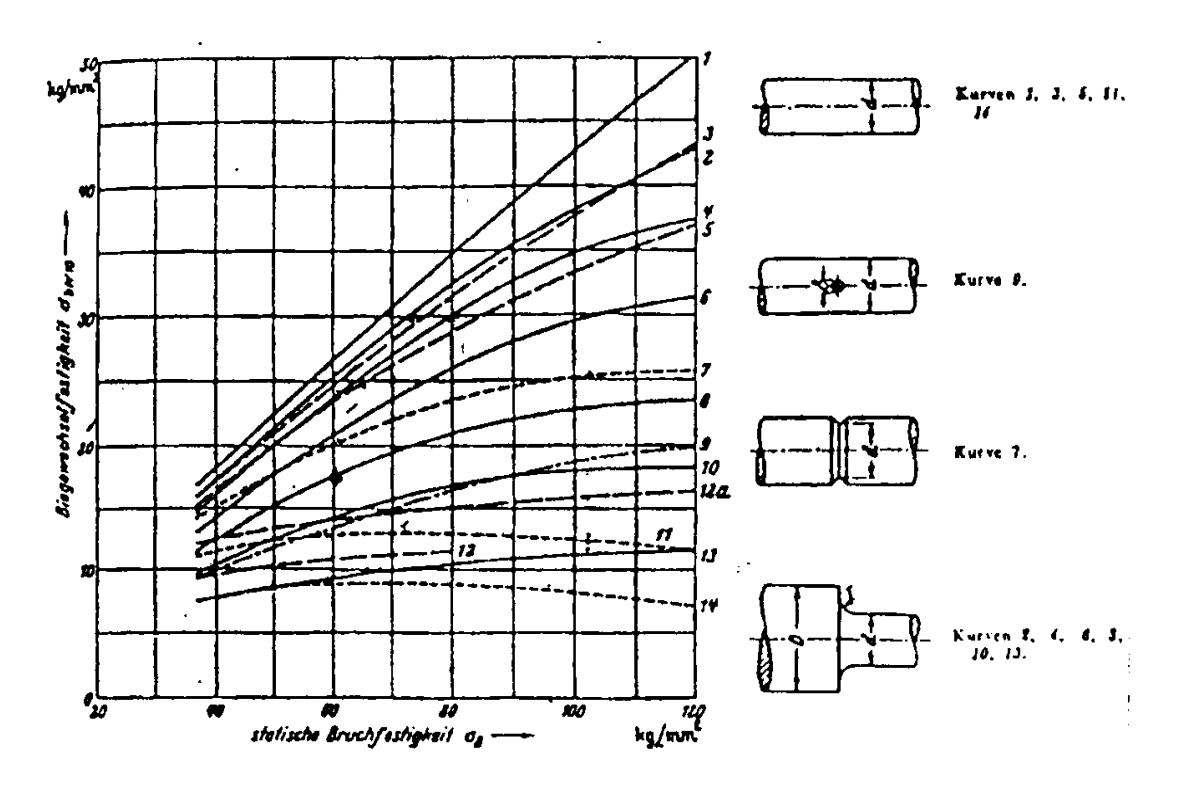
Tabel Bilangan kekuatan baut/sekrup dan mur mesin.

	Bilangan kekuatan		3,6	4,6	4,8	5,6	5,8	6,6	6,8	6,9	8,8	10,9	12,9	14,9
_	Kekuatan tarik Min bahan		34	40		50		60		80	100	120	140	
Baut mesin (JIS	kg/mm² Mak		49 55		70		80		100	120	140	160		
B1051)	Batas mulur (σ_y) kg/mm ²	Min	20	24	32	30	40	36	48	54	64	90	108	126
Mur (JIS	Bilangan kekuatan			4			5		6	<u> </u>	8	10	12	14
B1052)	Tegangan beban kg/mm²		40		50		60		80	100	120	140		

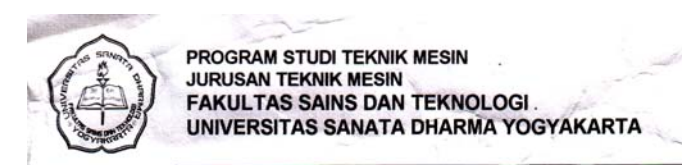
Tabel bahan untuk poros DIN 42946

		Kekerasan Keku		an tekuk	Kekuatan torsi		
	Kekuatan	HV	berubah	1-	berubah-		
Nama	Tarik	(dapat	ubah/m	embesar	ubah/membesar		
	$\sigma_{\rm B} ({\rm N/mm}^2)$	dikerasakan	N/mm ²		N/mm ²		
		sampai)	$\sigma_b W$	$\sigma_b S_{ch}$	$\tau_t W$	$\tau_t S_{ch}$	
St 42-2	B 420500	115 (450)	220	360	150	180	
St 50-2	B 500600	135 (530)	260	420	180	210	
St 60-2	B 600720	165 (720)	300	470	210	230	
St 70-2	B 700850	190	340	520	240	260	
C 22, Ck 22	V 500650	150	280	490	190	250	
C 35, Ck 35	V 590740	140 (530)	330	550	230	300	
C 45, Ck 45	V 670820	170 (720)	370	630	260	340	
25CrMo4	V 800950	186 (610)	430	730	300	450	
34Cr4	V 9001100	229 (670)	480	810	330	550	
C 15, Ck 15	$E 500650^3$	140 (840)	260	420	180	210	
16MnCr5	$E 8001100^3$	210 (840)	390	670	270	430	

(G.Niemann & H.Winter elemen mesin Jilid I edisi II, Jakarta 1994, hal.249-263)



Grafik tegangan tarik Vs tegangan lelah maximal pada poros. G.Niemann & H.Winter elemen mesin Jilid I edisi II, Jakarta 1994, hal.249-263)



UJIAN PENDADARAN TUGAS AKHIR / SKRIPSI TANGGAL: 6 Oktober 2007

NAMA Mhs.

: Harry Antonius

NIM

: 995214038

JUDUL

Perancangan Prime Mover Loader Untuk Tanah Liat Dengan Kapasitas

Bucket 5 Meter Kubik

Pembimbing Utama : Budi Sugiharto, S.T., M.T.

Pembimbing Kedua :

USULAN REVISI DARI DOSEN PENGUJI

1 lembar untuk mahasiswa

1 lembar untuk dosen pembimbing

* Penuliaan antran, mis. Kg diganti kg

* Misari

* Kesimpulan * Daftar pustaka, diuruthan dan dituliskan secuai pedoman * Konversi satuan dihilungkan

